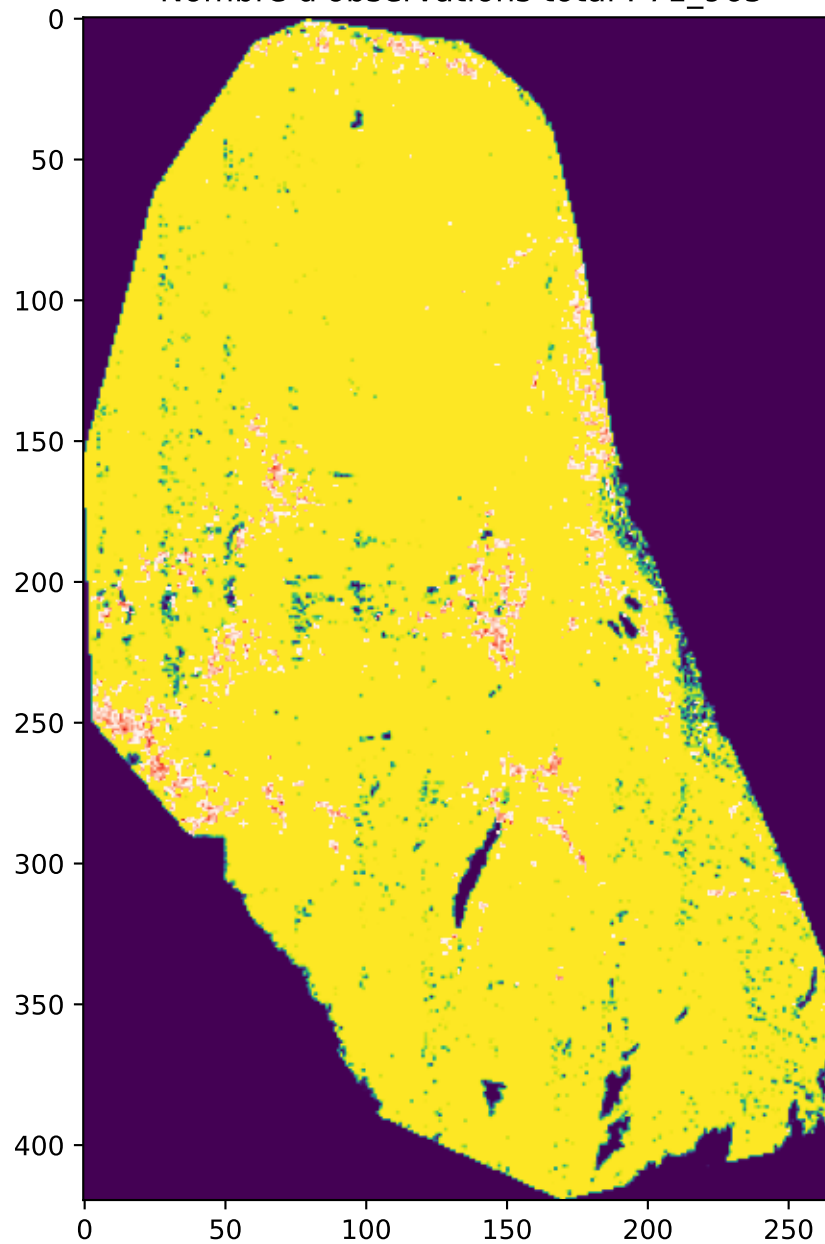


MAX_12b_187_CD3eFITC
WT
Nombre de Cellules T : 21_448 (29.80%)
Nombre d'observations total : 71_965

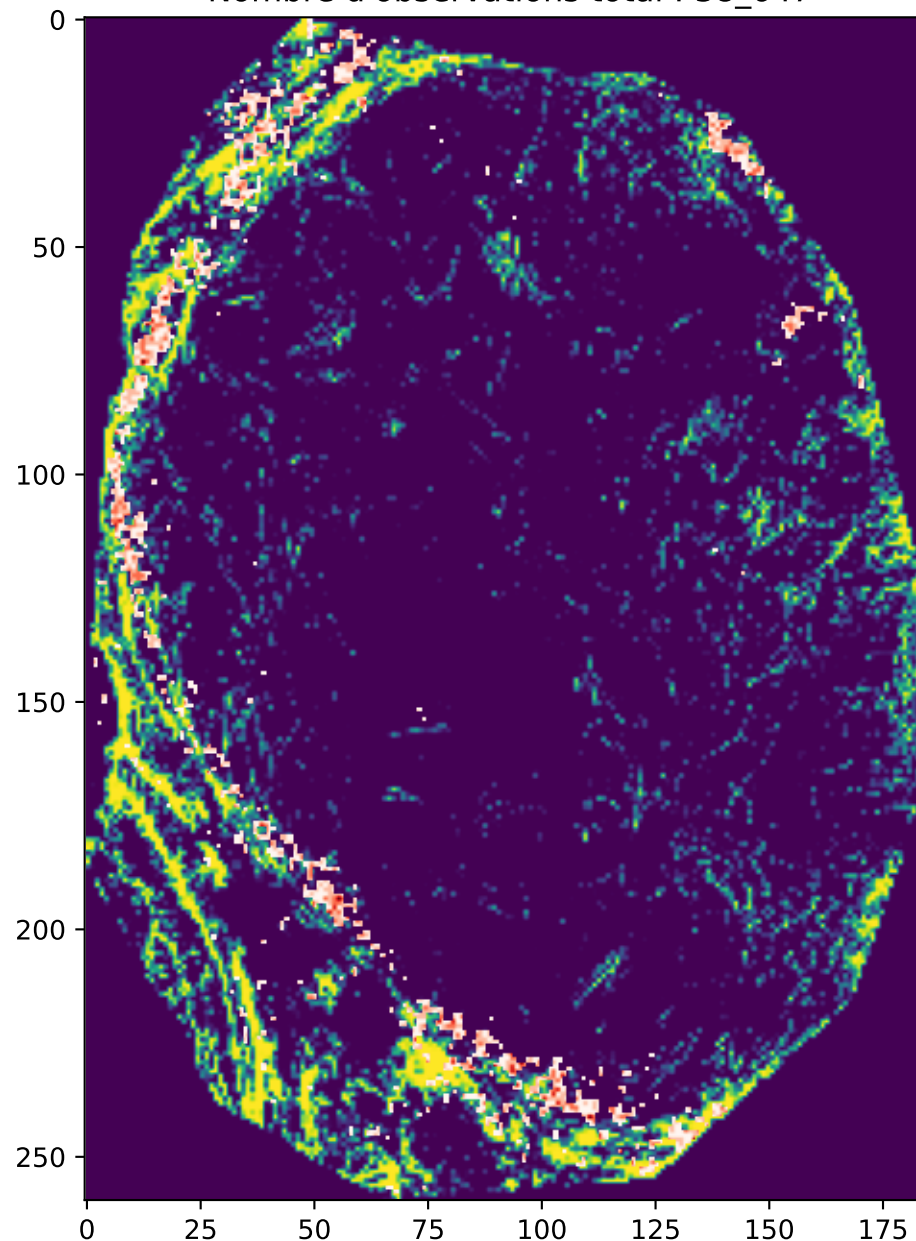


FWT_507_down_CD3FITC

WT

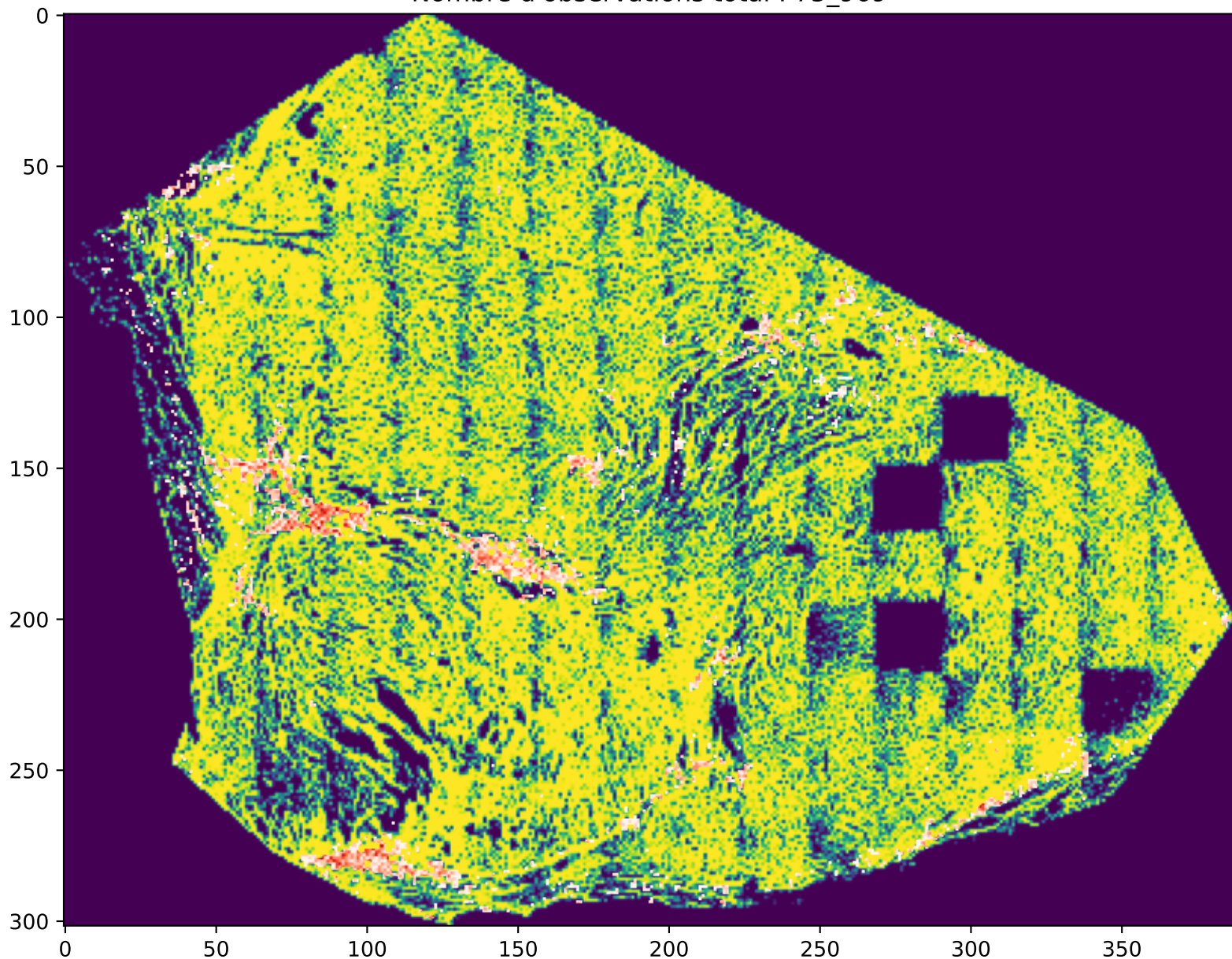
Nombre de Cellules T : 8_383 (21.69%)

Nombre d'observations total : 38_647



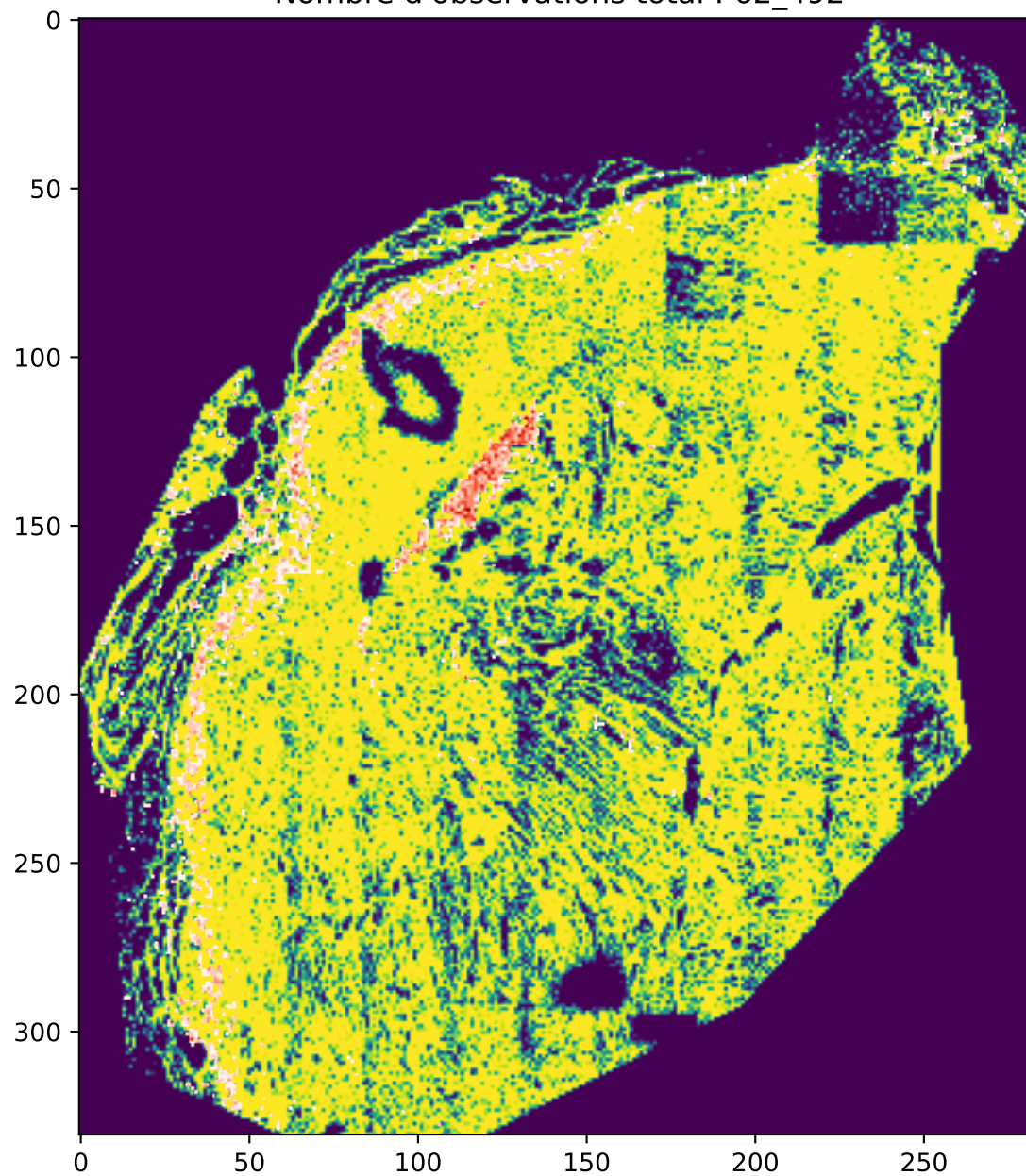
MAX_12b_189_CD3eFITC
WT

Nombre de Cellules T : 17_468 (22.99%)
Nombre d'observations total : 75_969



MAX_12b_184_CD3eFITC
WT

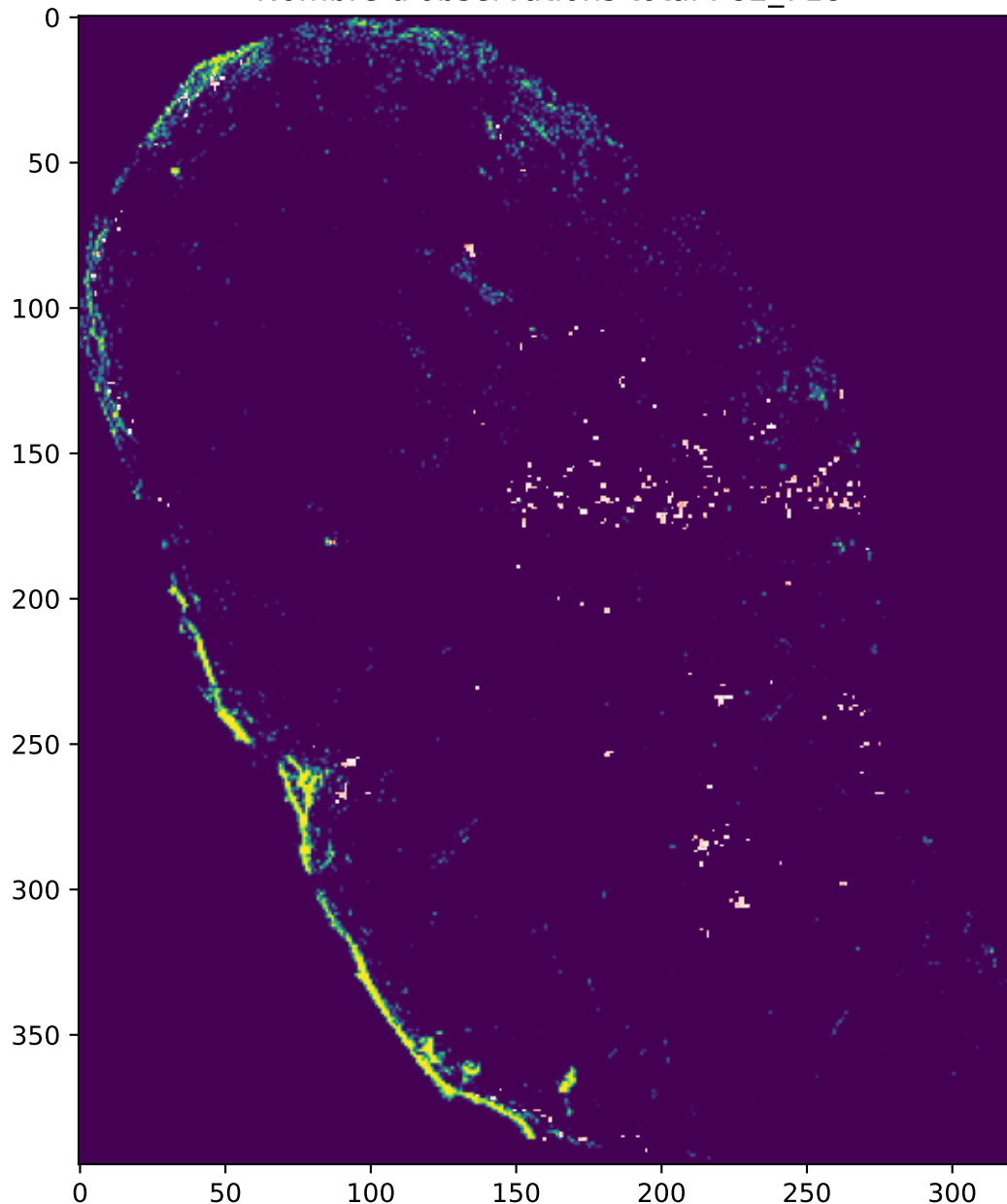
Nombre de Cellules T : 16_580 (26.53%)
Nombre d'observations total : 62_492



MAX_12b_FWT331_CD3_SHG

WT

Nombre de Cellules T : 7_657 (9.26%)
Nombre d'observations total : 82_718

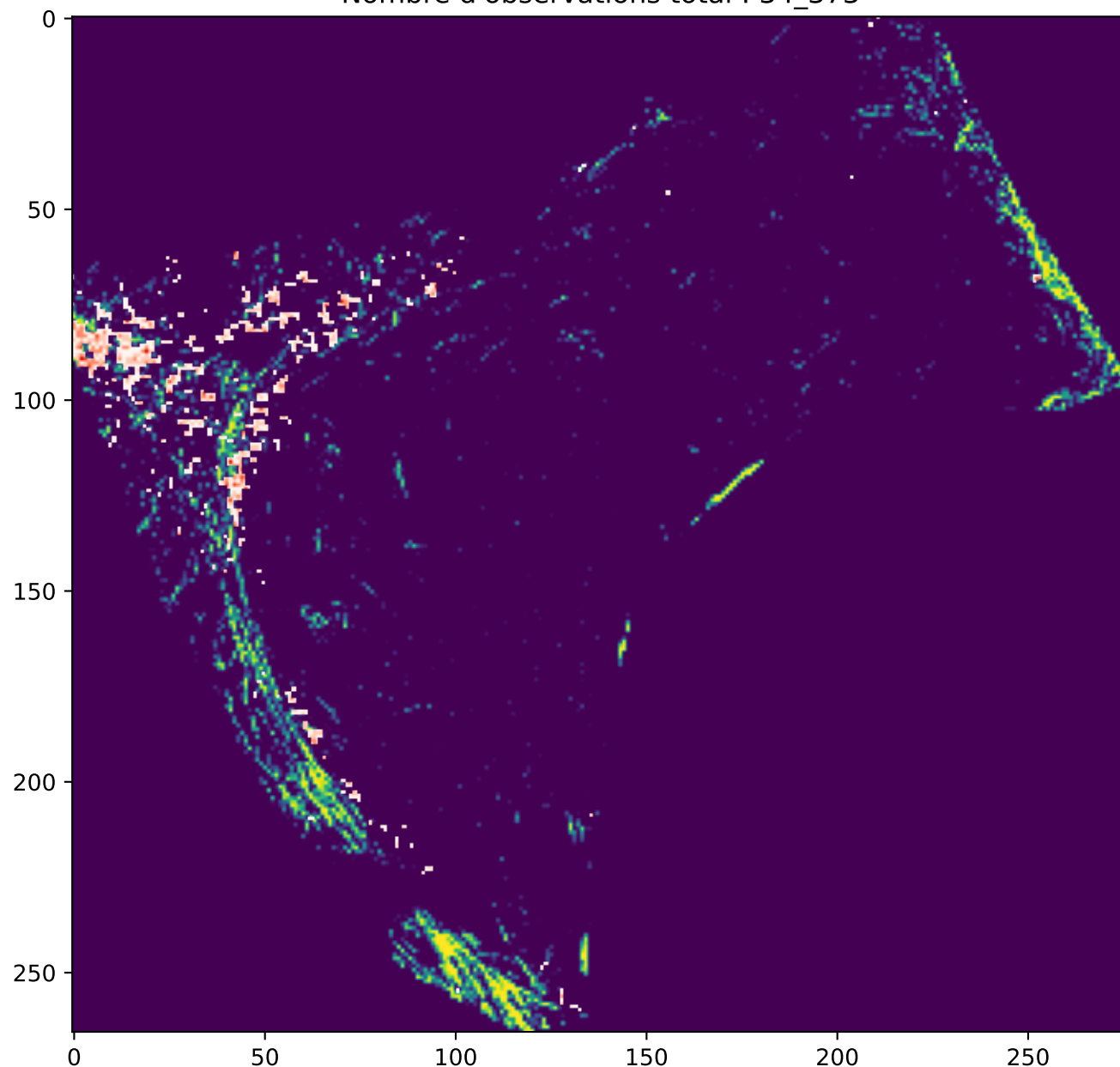


MAX_12b_FWT_333_CD3_SHG

WT

Nombre de Cellules T : 5_707 (16.60%)

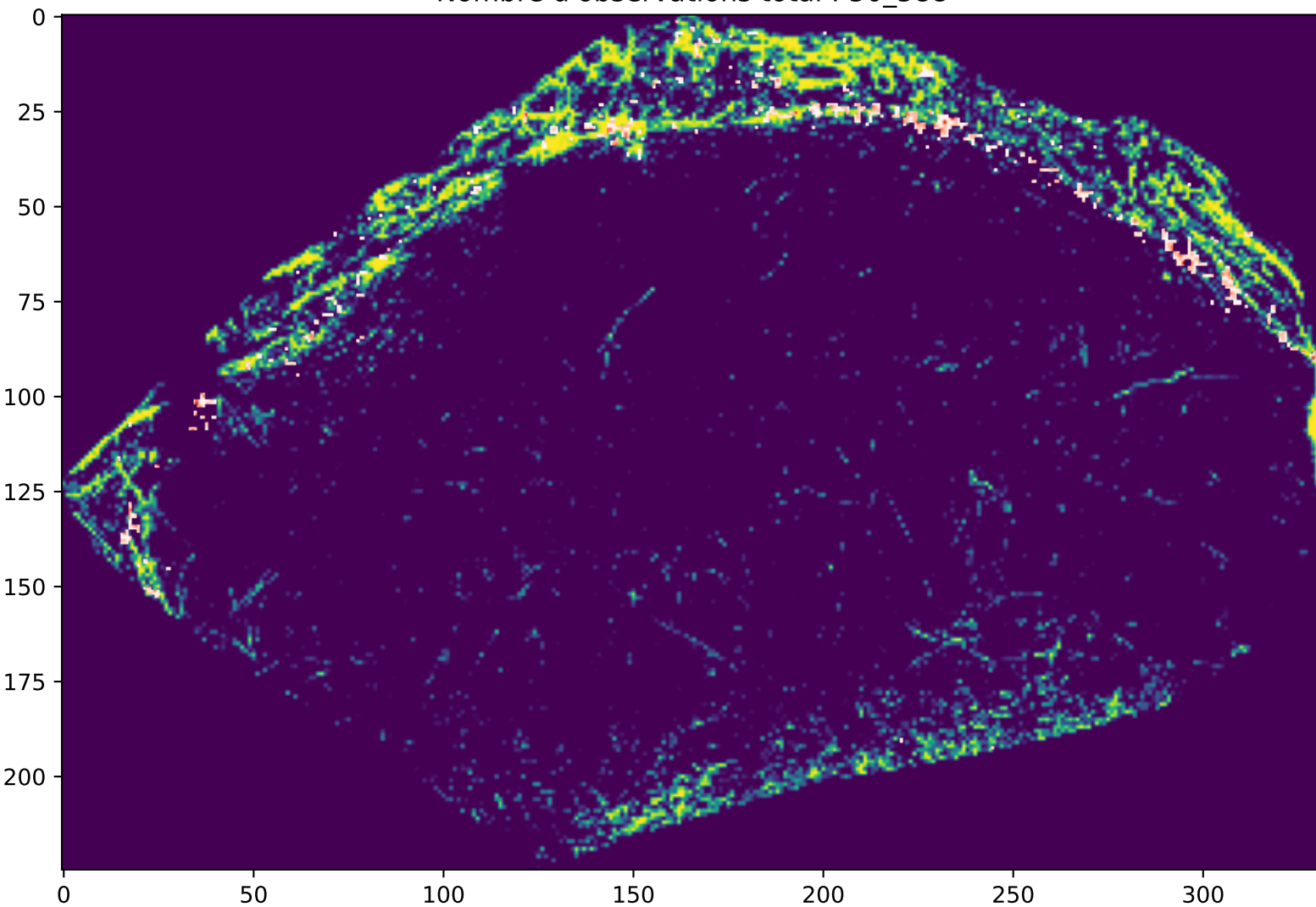
Nombre d'observations total : 34_373



FWT_928_right_CD3FITC

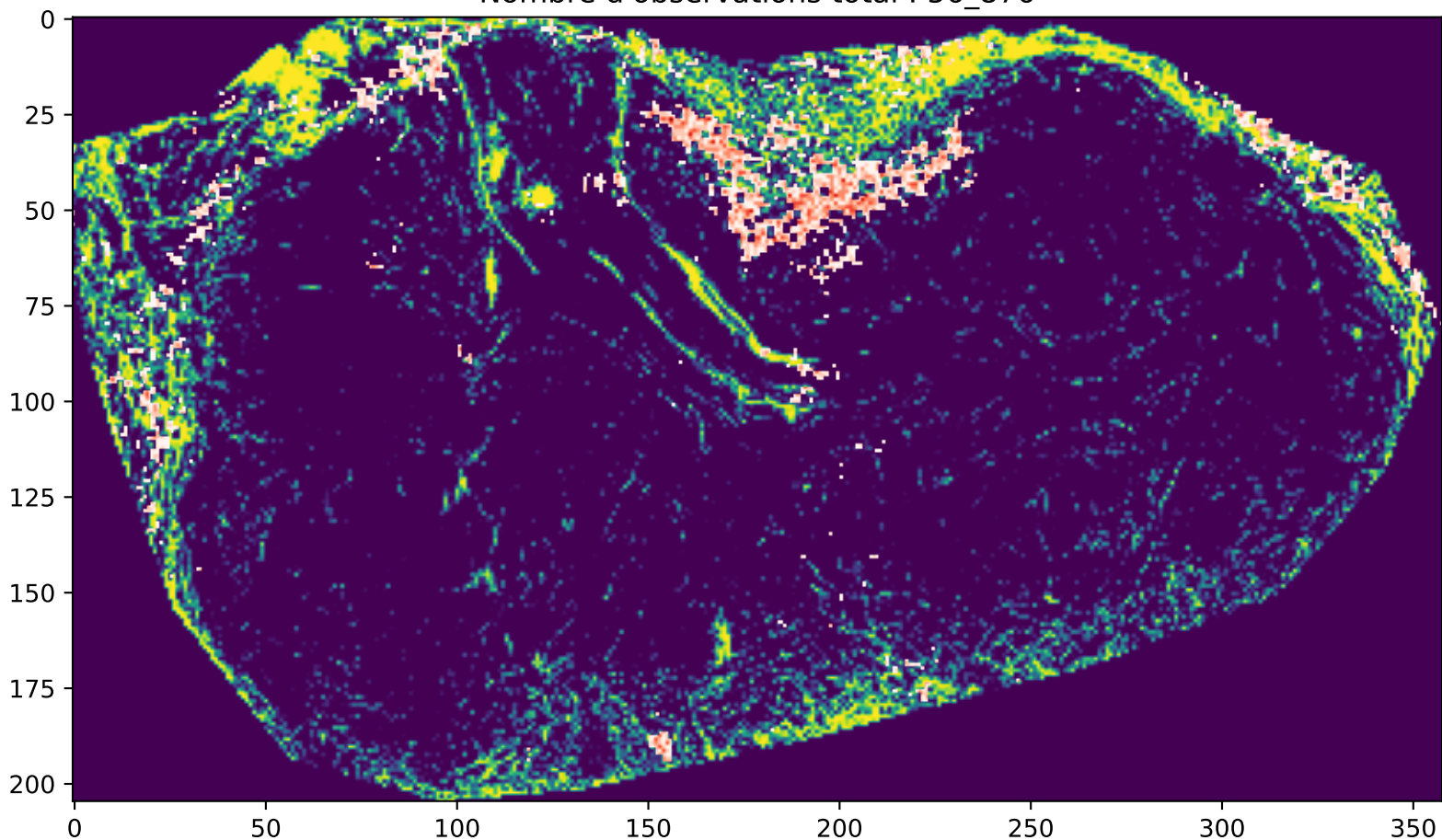
WT

Nombre de Cellules T : 4_934 (9.75%)
Nombre d'observations total : 50_588



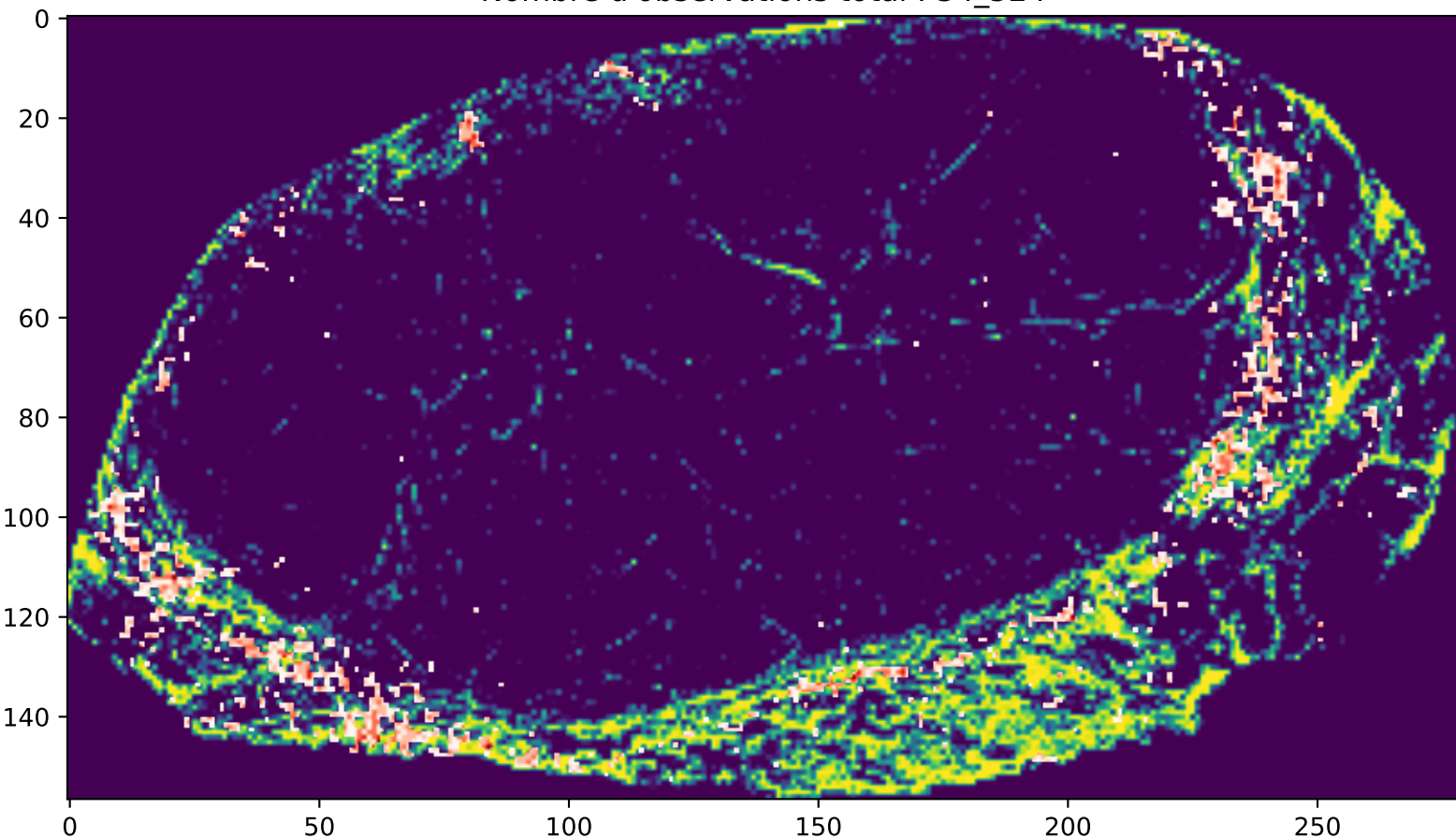
FWT_861_big_CD3FITC
WT

Nombre de Cellules T : 12_379 (21.76%)
Nombre d'observations total : 56_876

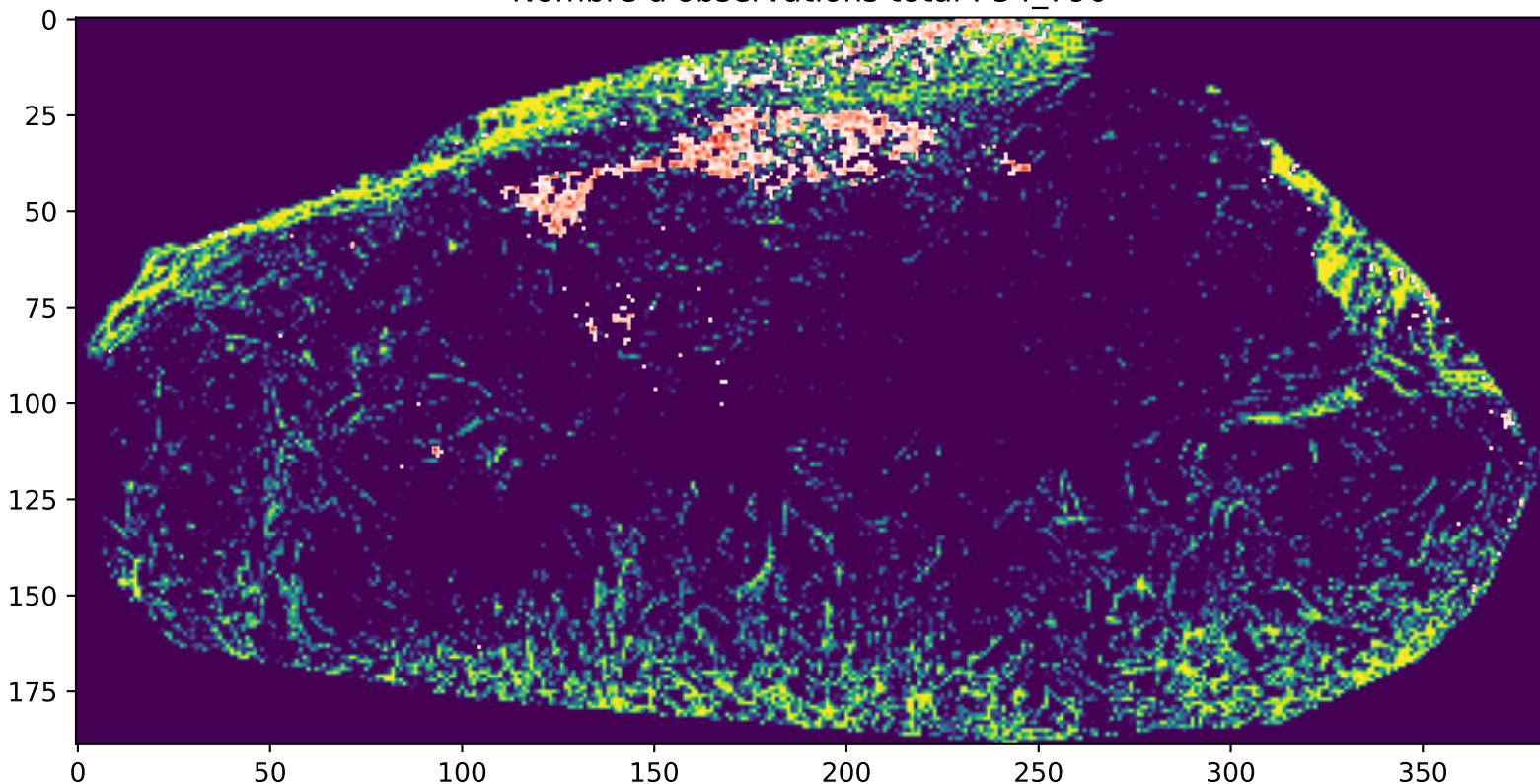


FWT_511_CD3FITC_F480_AF647_Phal546
WT

Nombre de Cellules T : 9_538 (27.63%)
Nombre d'observations total : 34_524



MAX_MWT738_CD3_SHG
WT
Nombre de Cellules T : 8_757 (15.98%)
Nombre d'observations total : 54_790

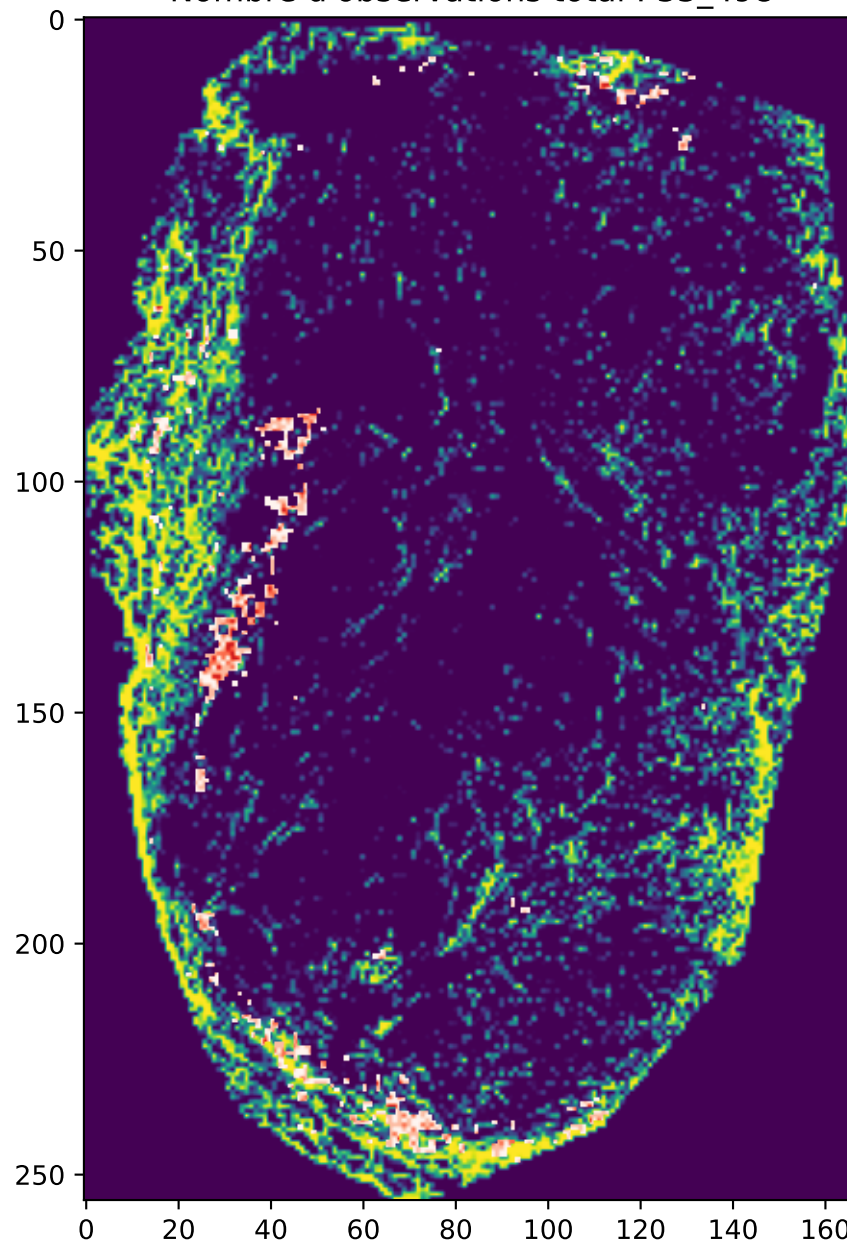


MAX_MWT854_CD3_SHG

WT

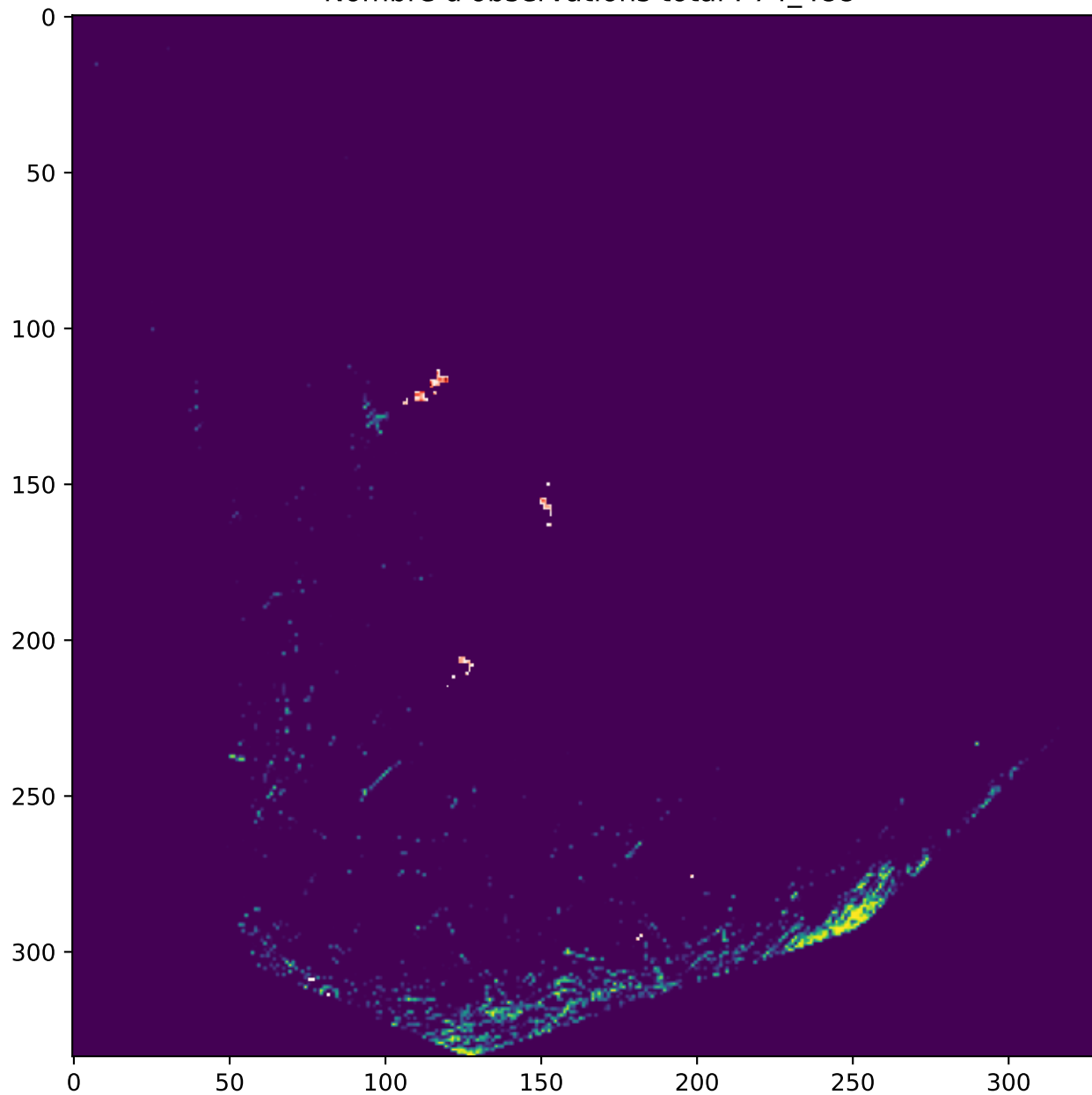
Nombre de Cellules T : 5_481 (16.36%)

Nombre d'observations total : 33_498



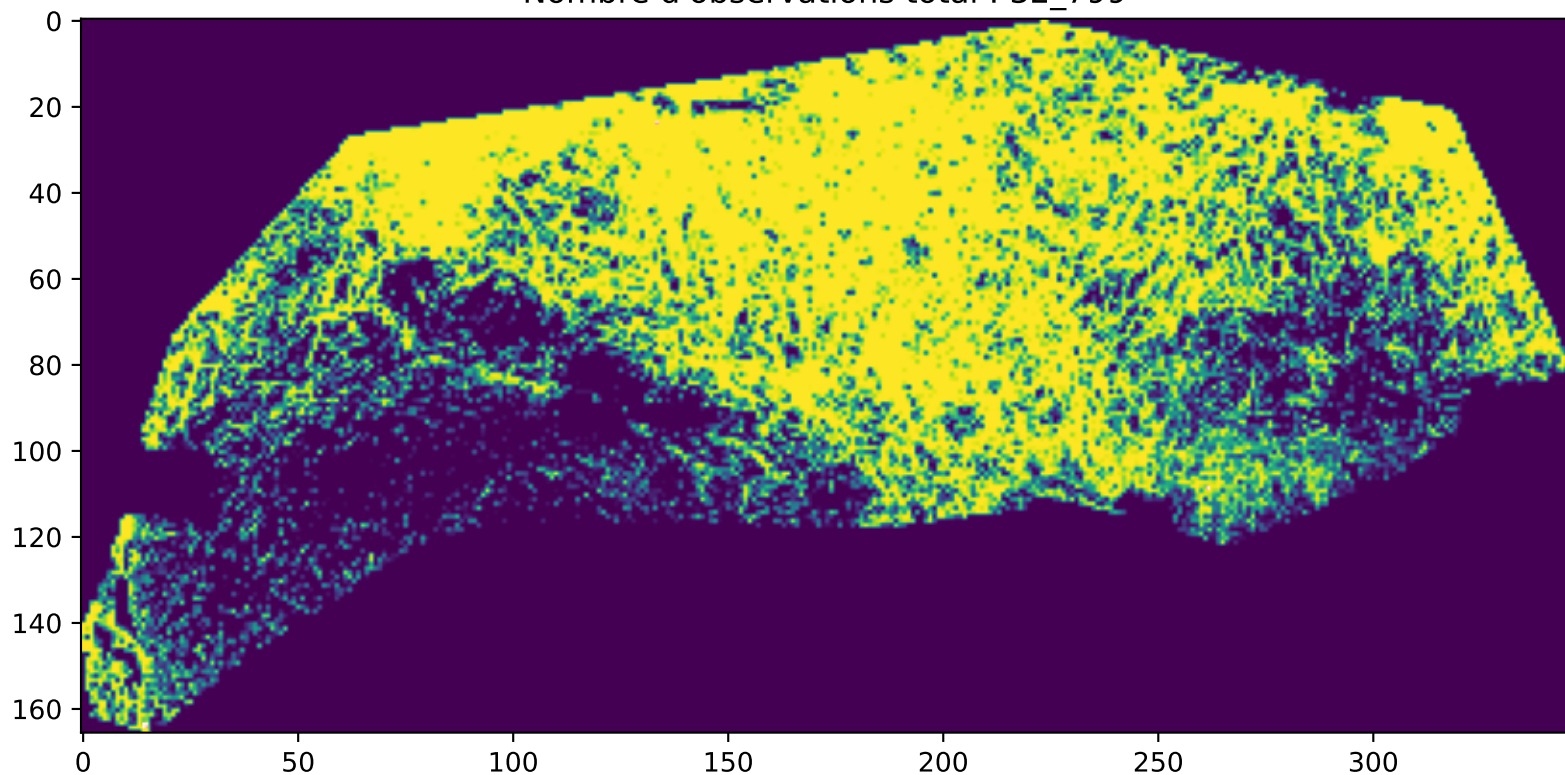
12c_ZF_MAX_12c_MW137_CD3FITC_SHG
WT

Nombre de Cellules T : 1_324 (1.78%)
Nombre d'observations total : 74_488



MAX_MWT929_CD3_SHG
WT

Nombre de Cellules T : 308 (0.94%)
Nombre d'observations total : 32_799

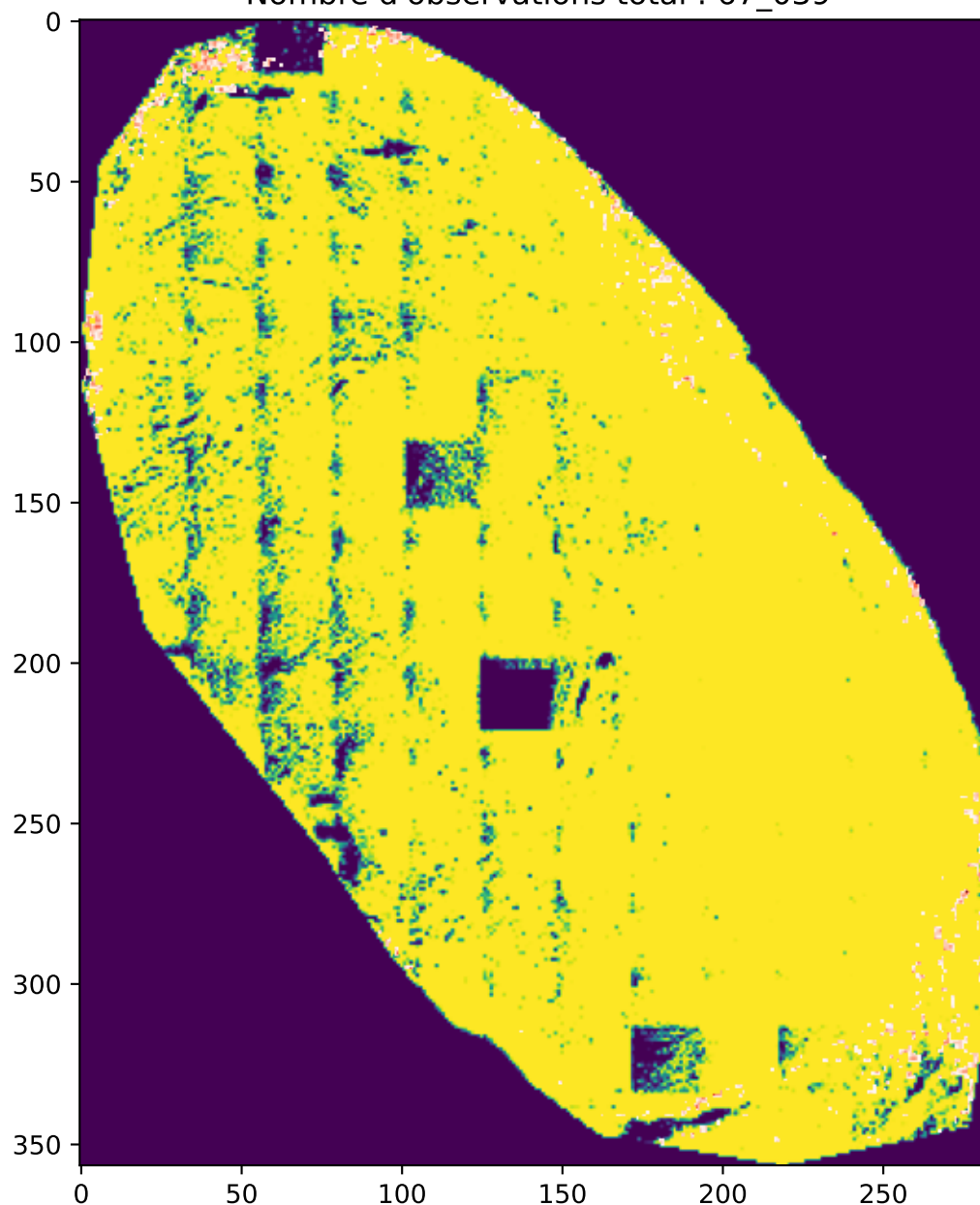


MAX_12b_330_CD3eFITC

WT

Nombre de Cellules T : 8_811 (13.14%)

Nombre d'observations total : 67_039

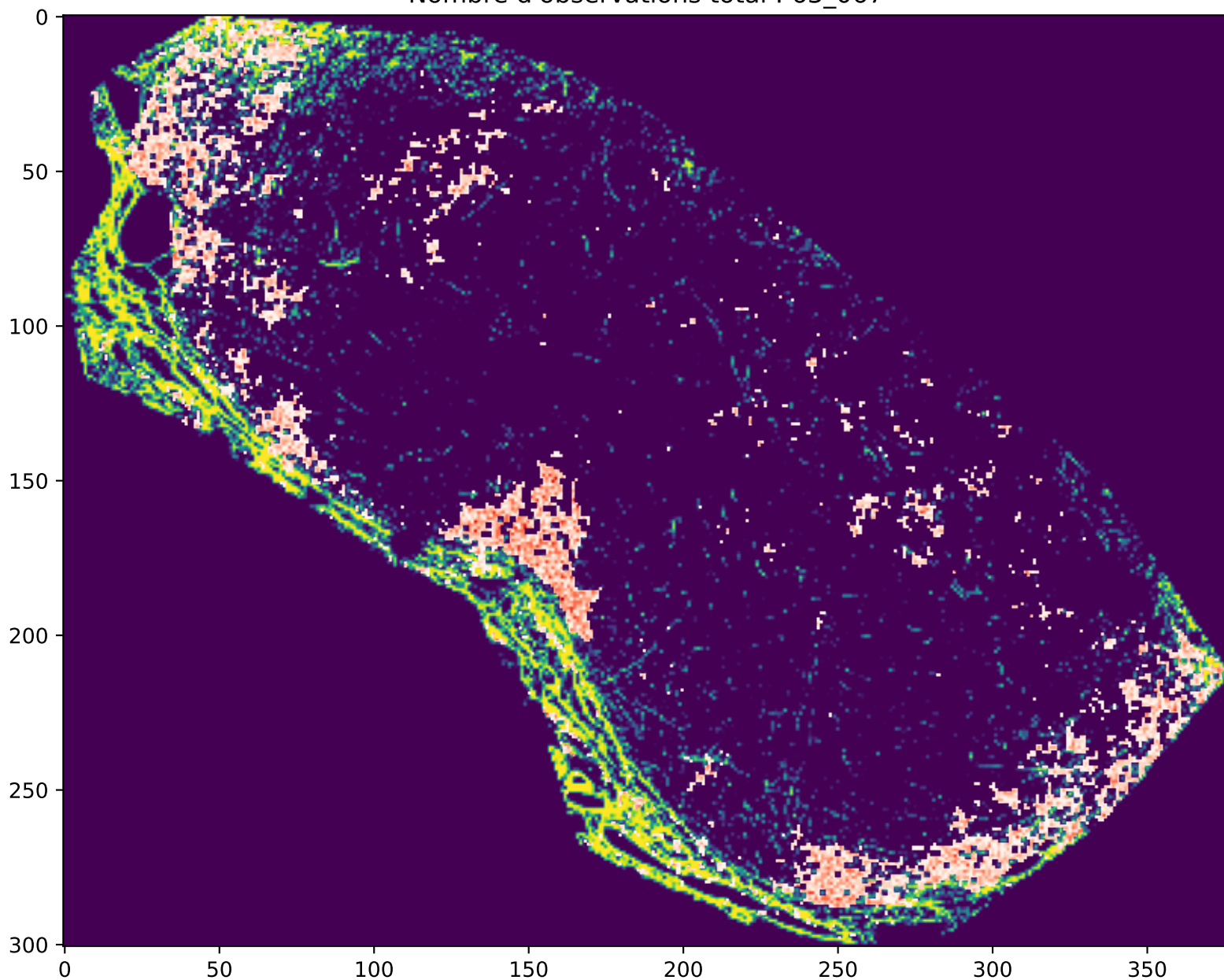


MAX_12b_MKI183_CD3eFITC_SHG

KI

Nombre de Cellules T : 29_182 (46.27%)

Nombre d'observations total : 63_067

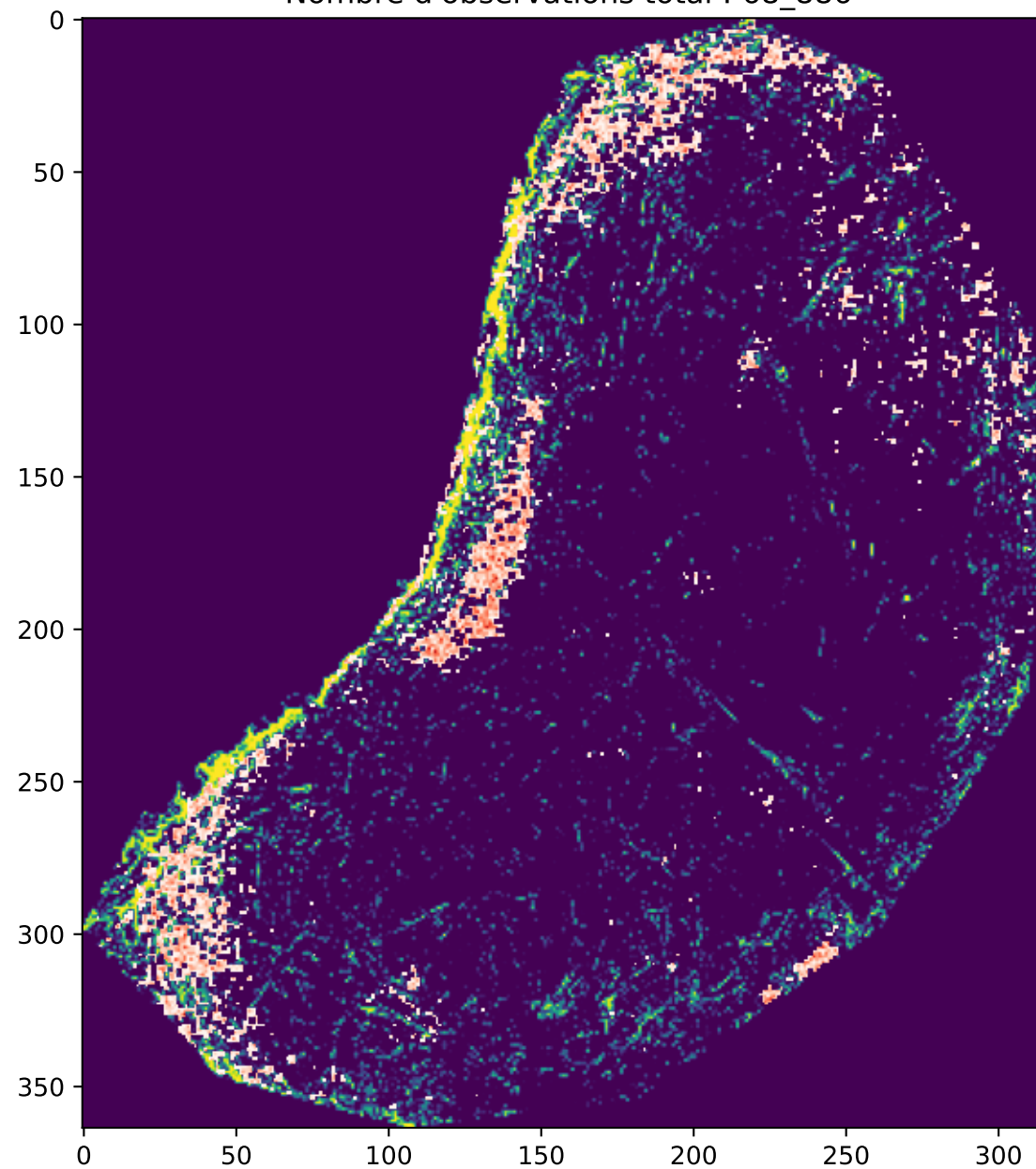


MAX_12b_FKI192_CD3_SHG

KI

Nombre de Cellules T : 27_197 (39.48%)

Nombre d'observations total : 68_886

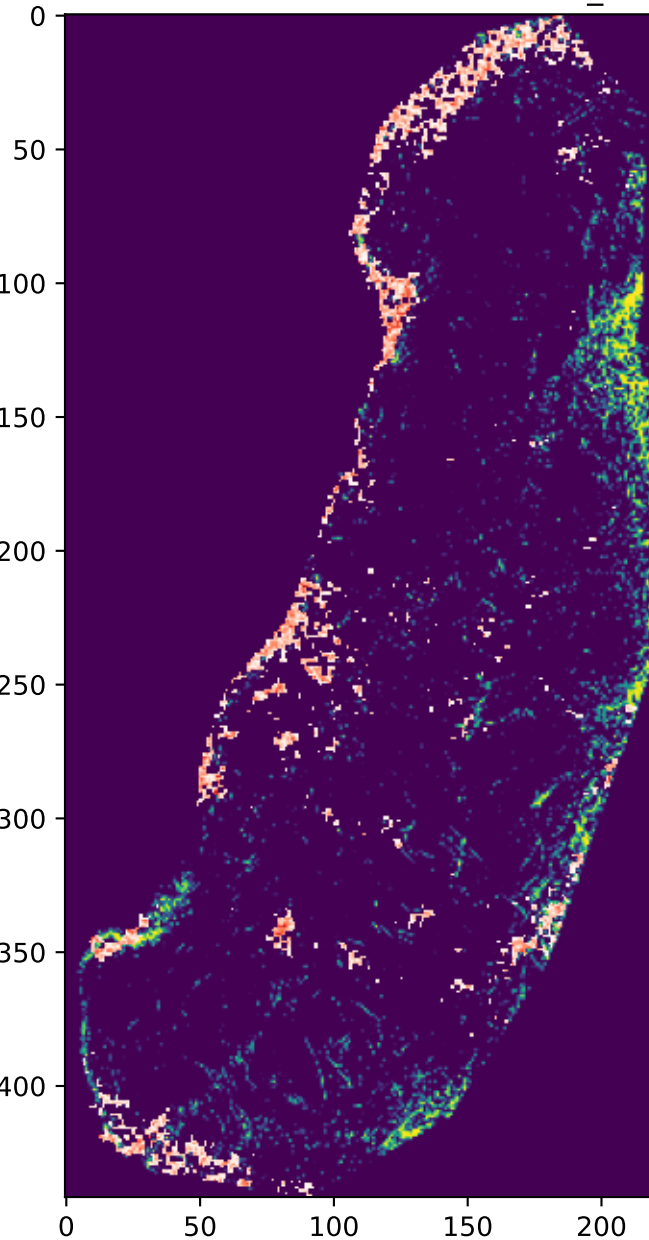


MAX_12b_MKI185_CD3_SHG

KI

Nombre de Cellules T : 17_017 (30.79%)

Nombre d'observations total : 55_266

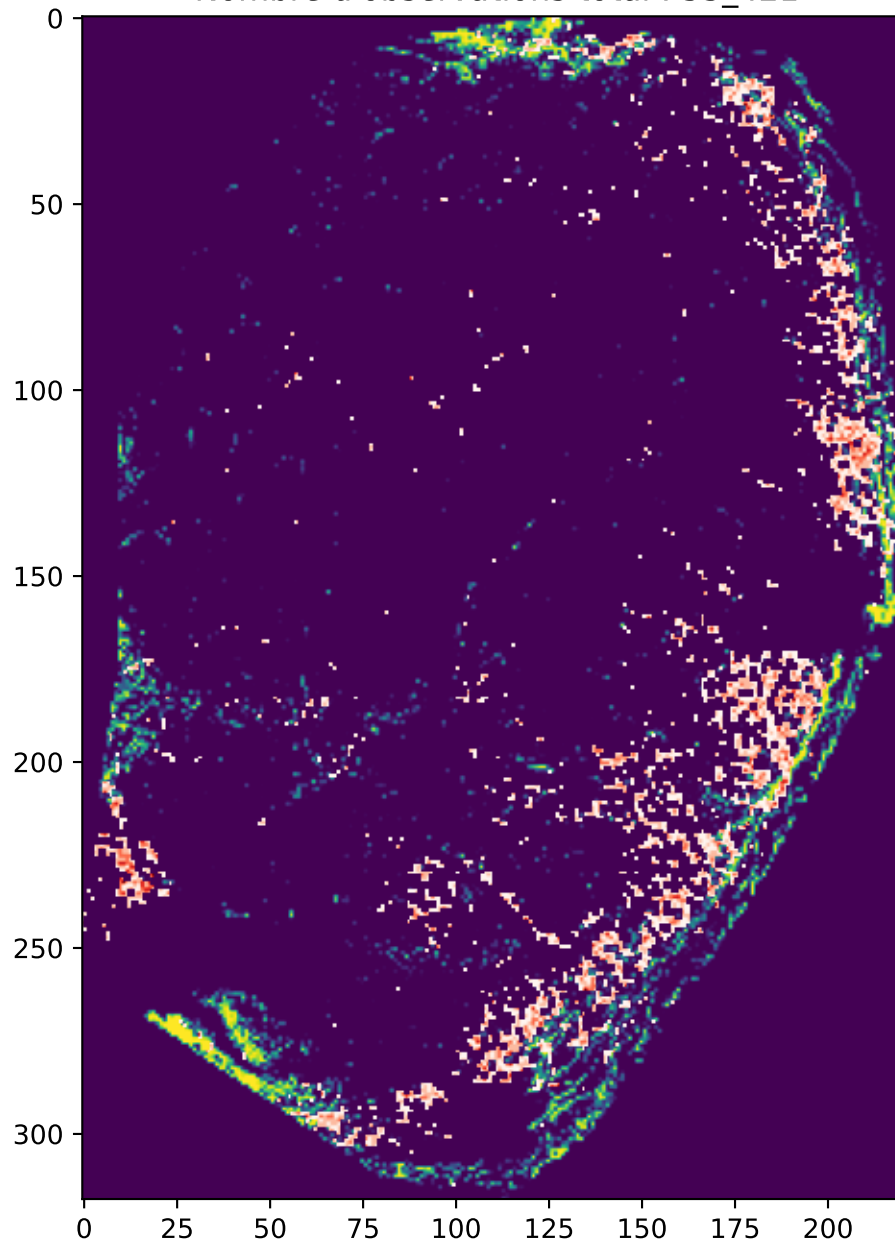


MAX_12b_FKI332_CD3_SHG

KI

Nombre de Cellules T : 20_427 (38.24%)

Nombre d'observations total : 53_421

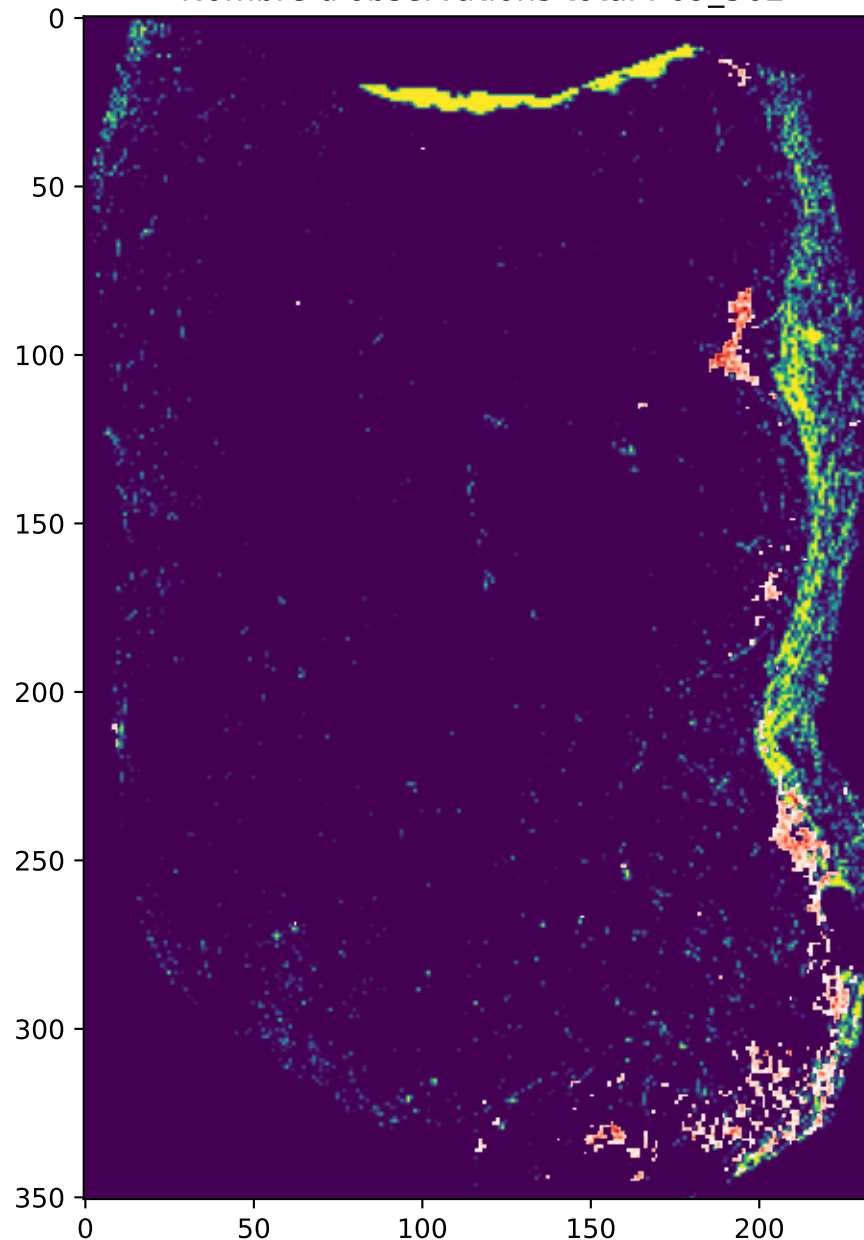


MAX_12b_FKI194_CD3_SHG

KI

Nombre de Cellules T : 8_163 (11.73%)

Nombre d'observations total : 69_562

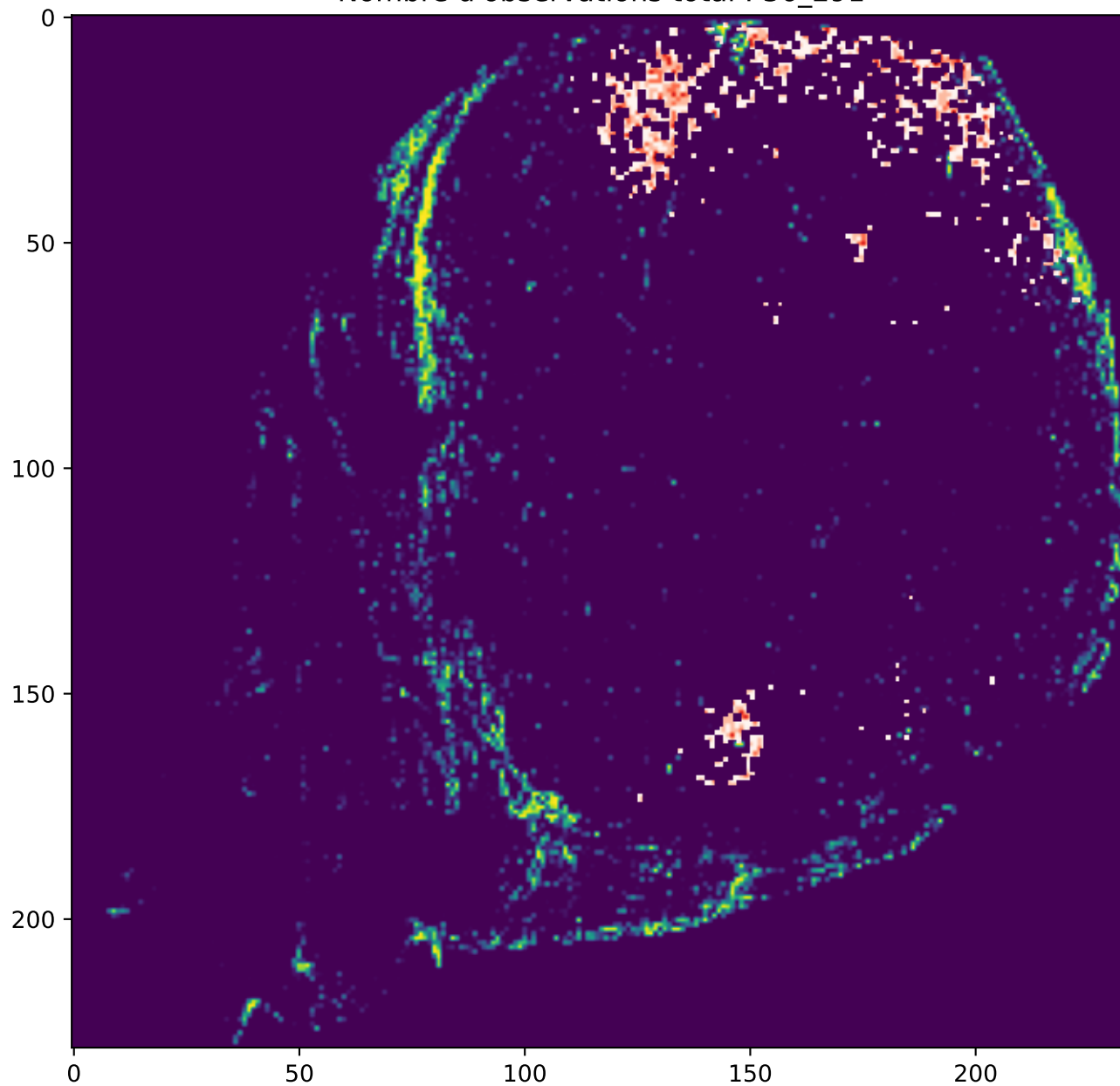


MAX_12b_FKI193_CD3_SHG

KI

Nombre de Cellules T : 5_417 (14.93%)

Nombre d'observations total : 36_291

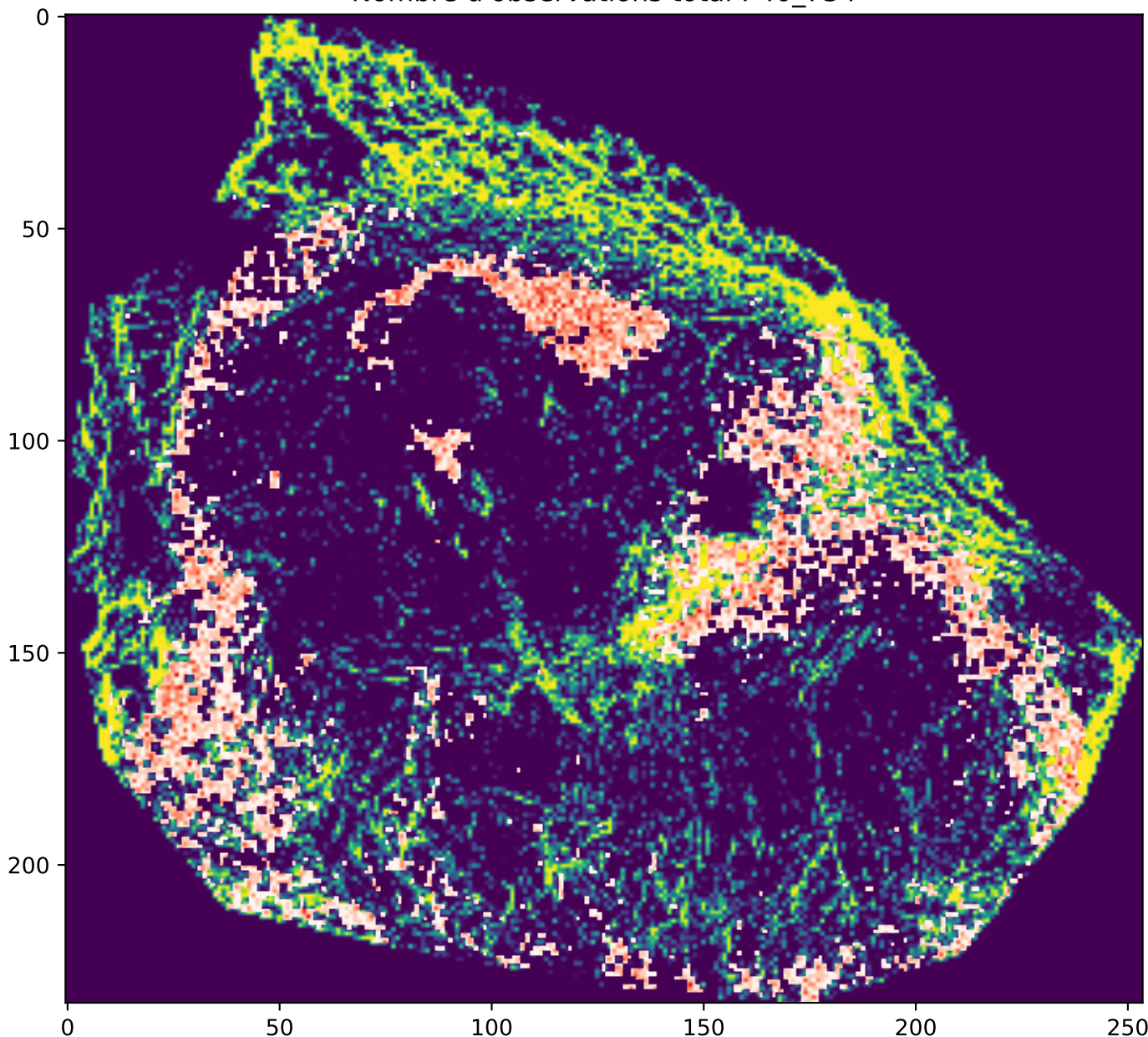


MKI139_CD3eFITC_SHG

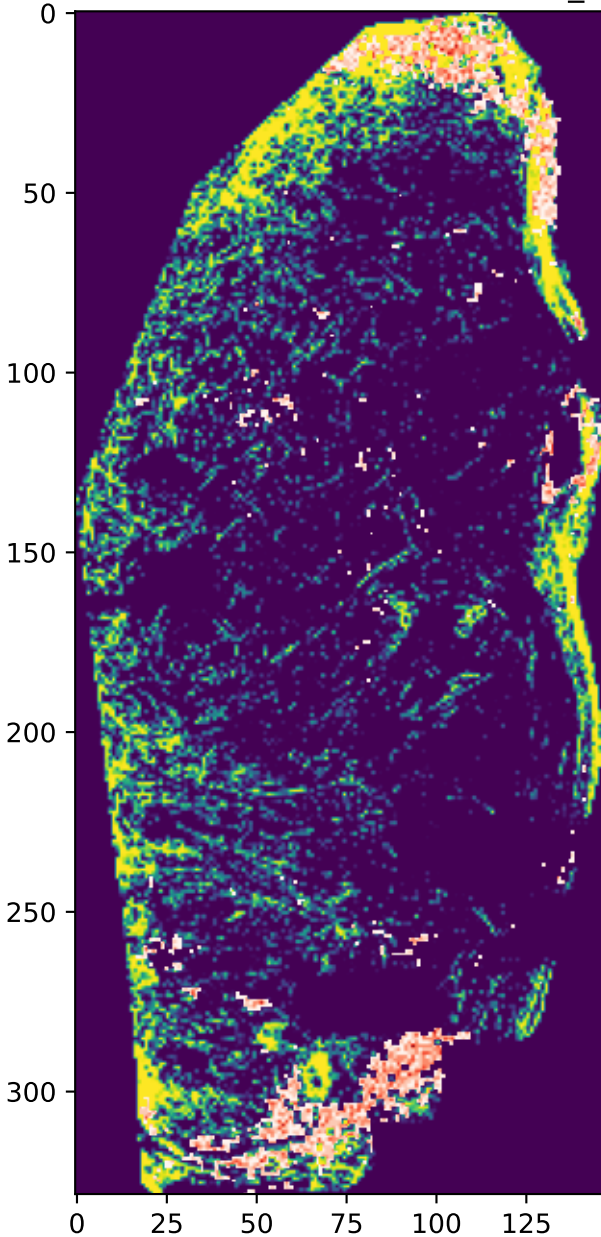
KI

Nombre de Cellules T : 23_857 (58.57%)

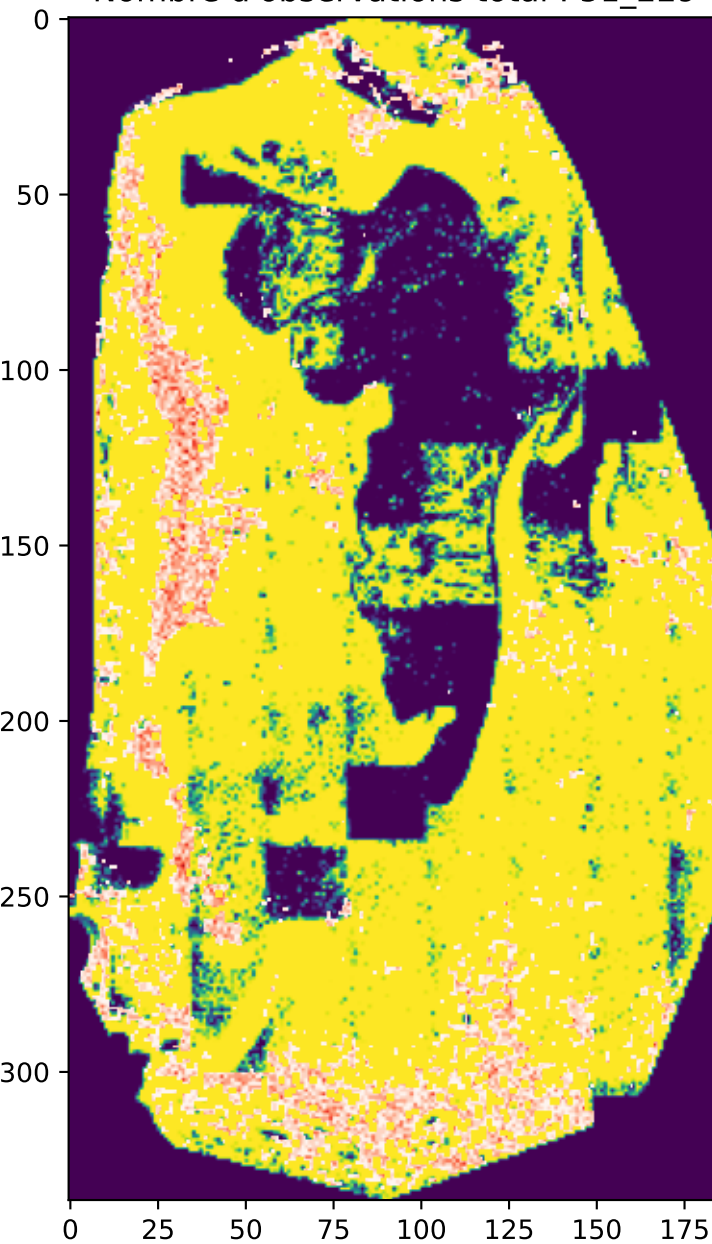
Nombre d'observations total : 40_734



12a_MKI152_CD3_SHG
KI
Nombre de Cellules T : 11_293 (30.01%)
Nombre d'observations total : 37_634



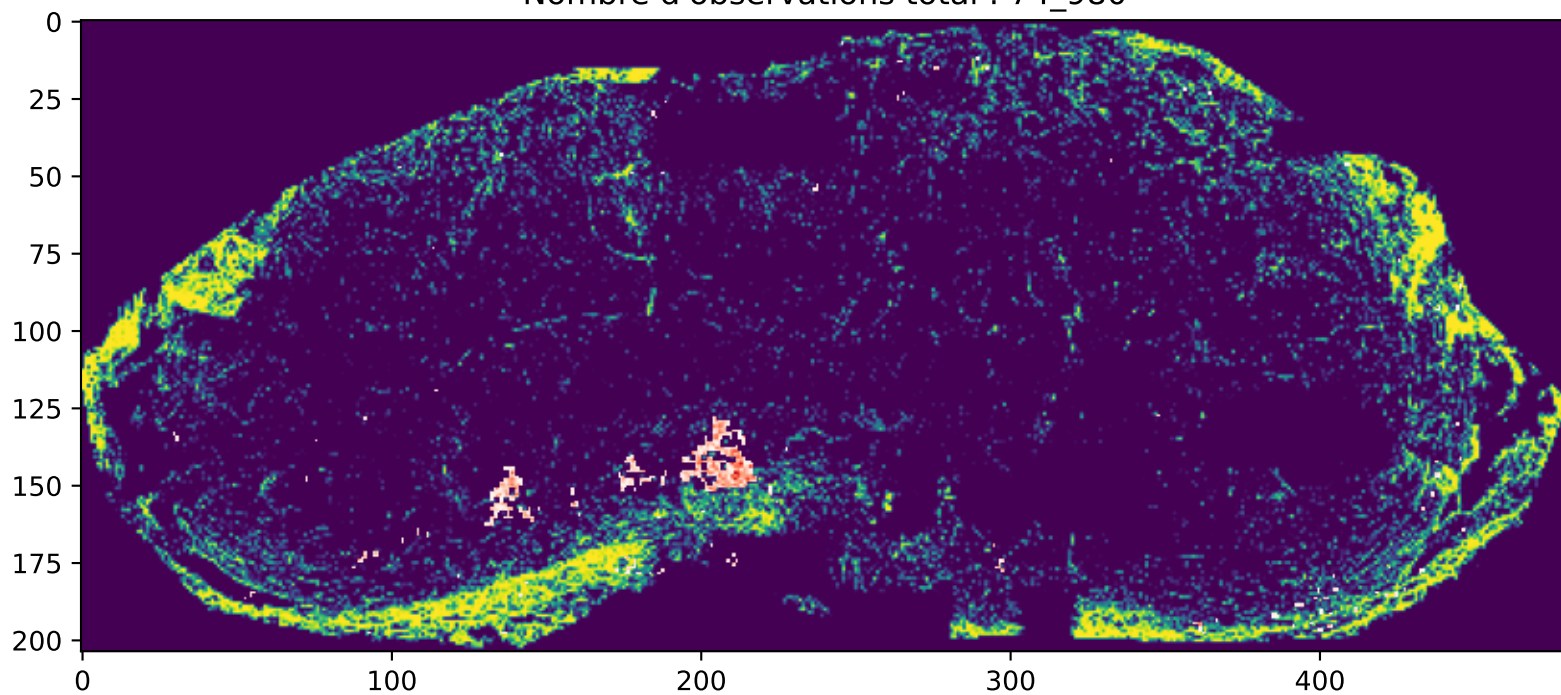
MAX_12b_188_CD3eFITC
KI
Nombre de Cellules T : 28_787 (56.19%)
Nombre d'observations total : 51_229



12c_MKI138_CD3eFITC_SHG_phal546_F480647
KI

Nombre de Cellules T : 6_416 (8.56%)

Nombre d'observations total : 74_980

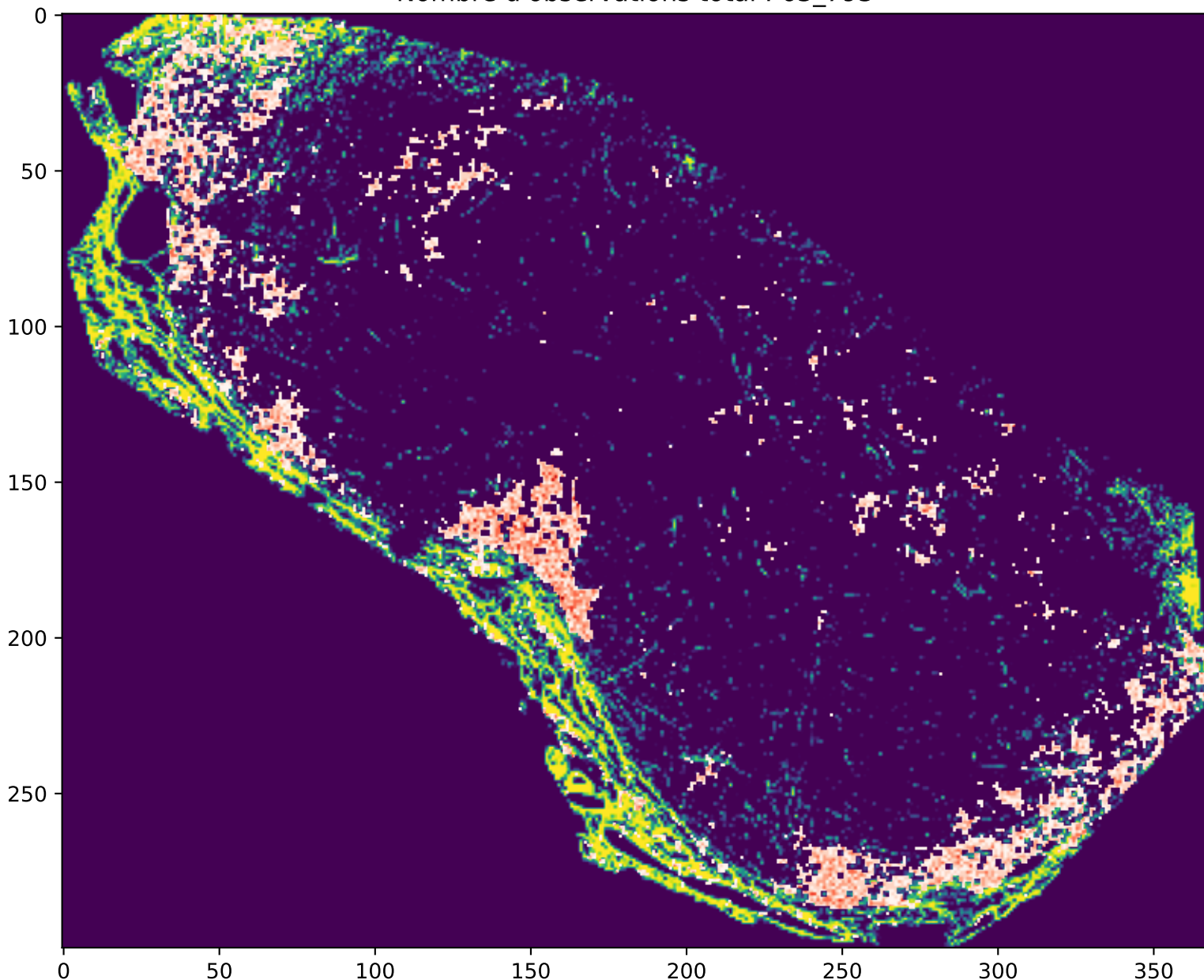


MAX_12b_183_CD3eFITC_SHG

KI

Nombre de Cellules T : 29_235 (45.83%)

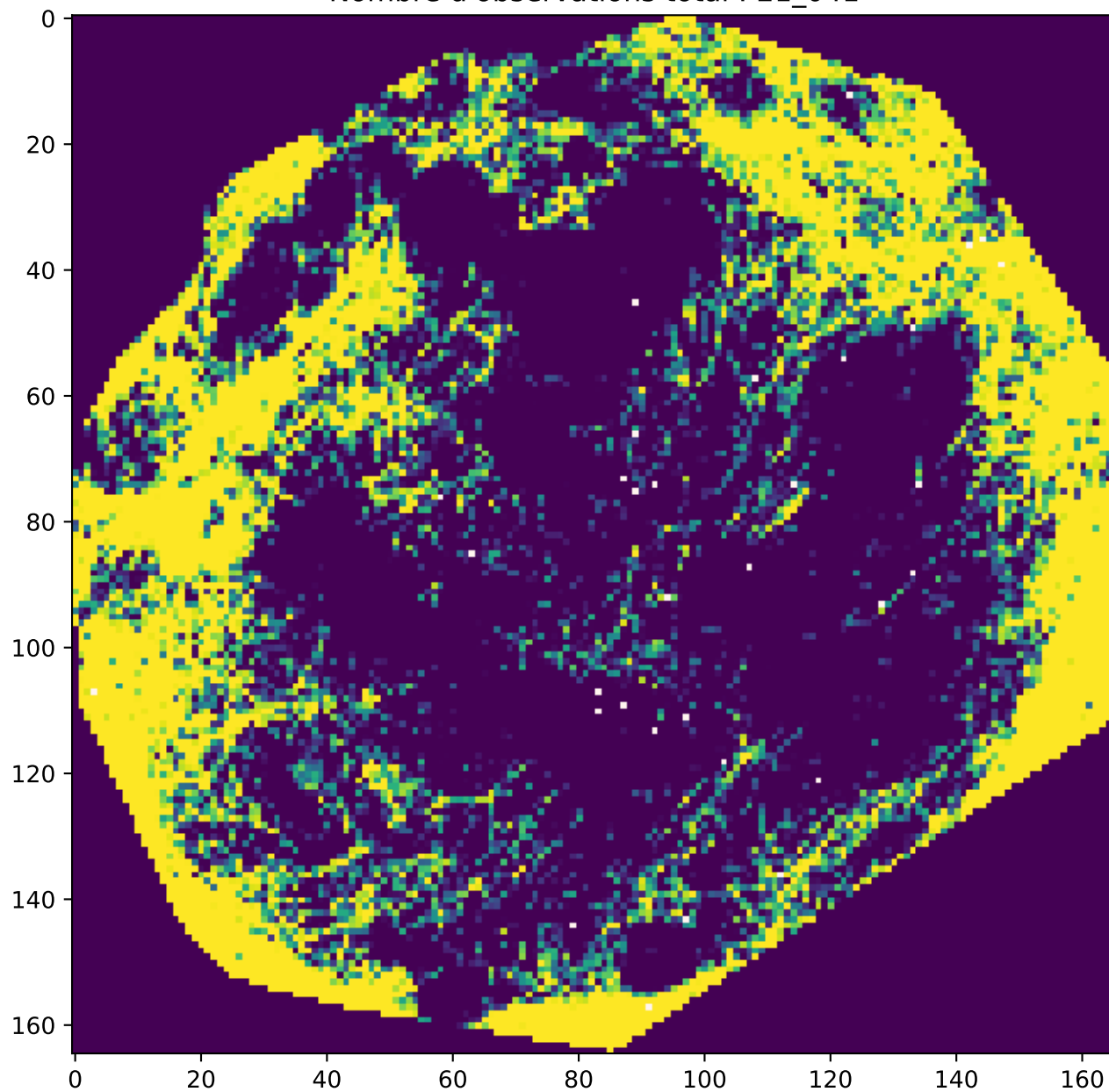
Nombre d'observations total : 63_793



MAX_12a_MKI353_CD3_SHG

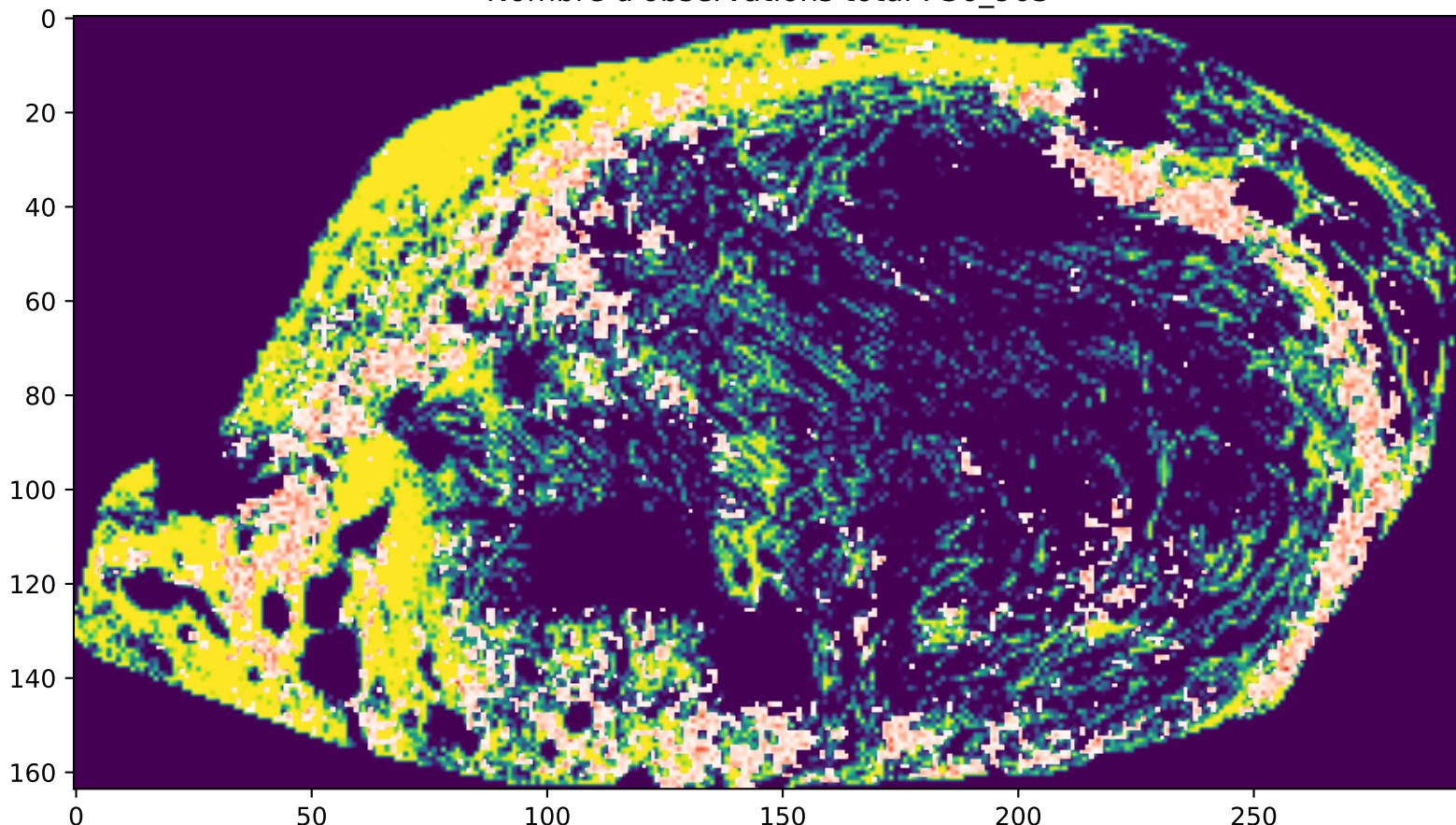
KI

Nombre de Cellules T : 32 (0.15%)
Nombre d'observations total : 21_041

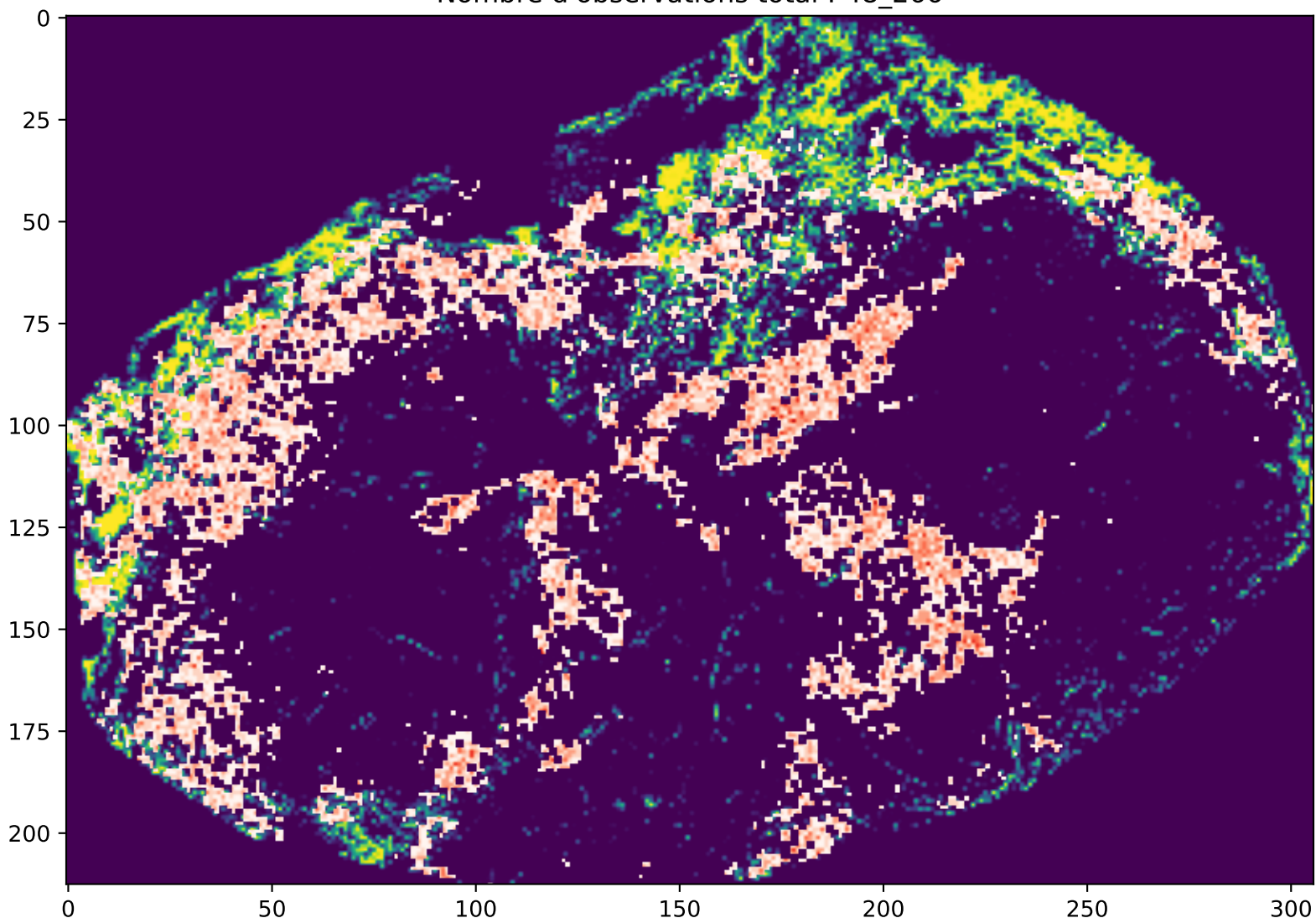


MAX_12a_FKI158_CD3_SHG
KI

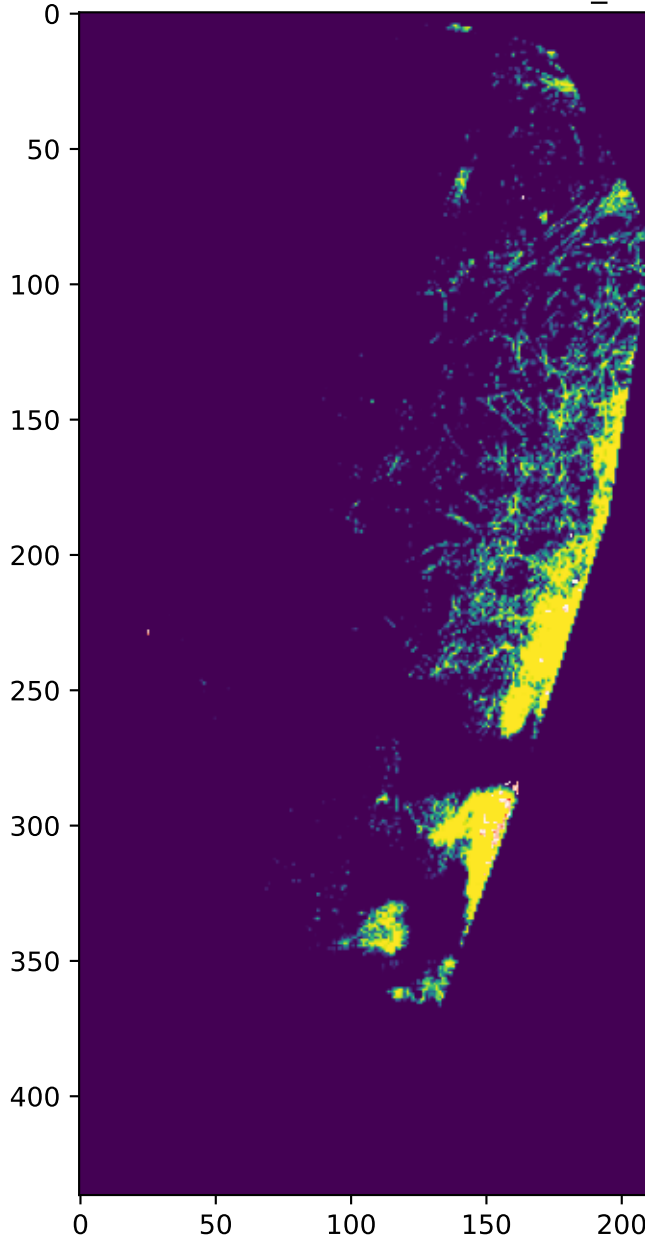
Nombre de Cellules T : 23_477 (63.61%)
Nombre d'observations total : 36_905



FKI_860bis_left_CD3FITC
KI
Nombre de Cellules T : 31_964 (66.22%)
Nombre d'observations total : 48_266



FKI_860_CD3FITC
KI
Nombre de Cellules T : 958 (1.79%)
Nombre d'observations total : 53_650

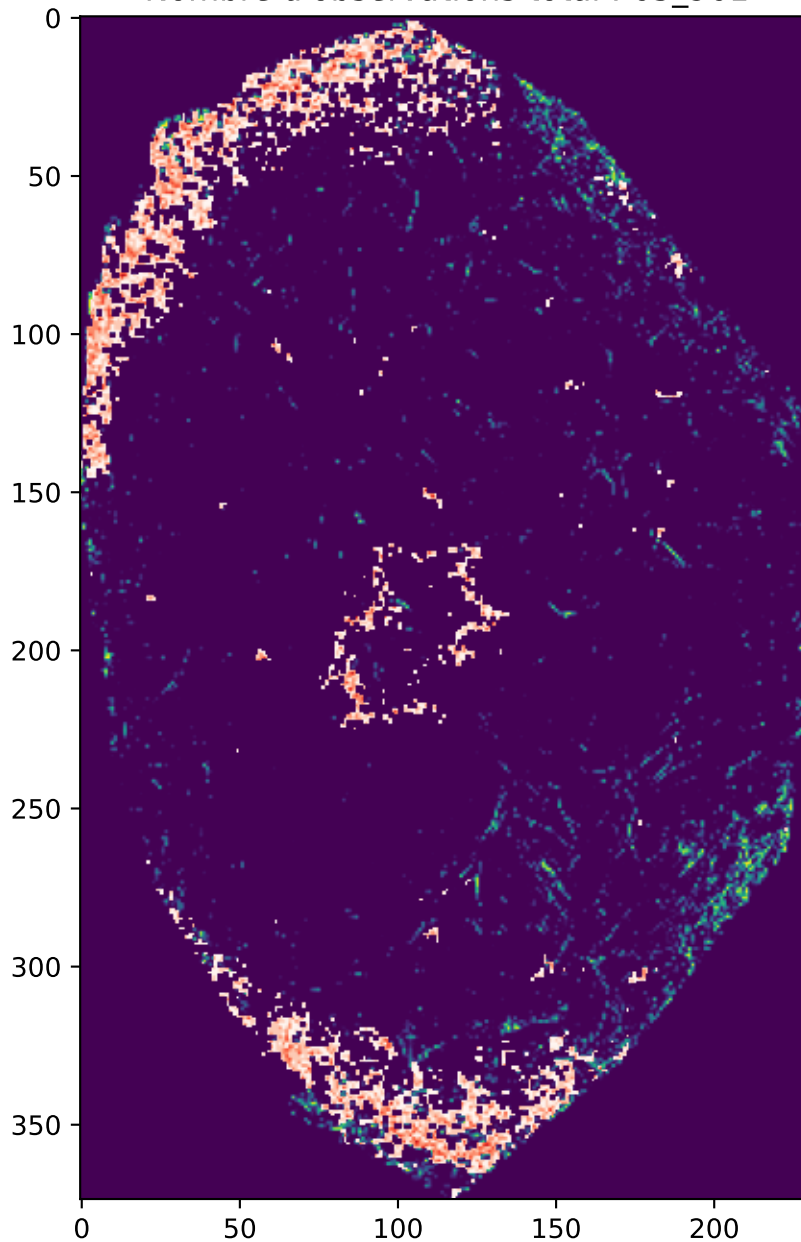


FKI_141_bottom_CD3FITC_F480_AF647_Phal546

KI

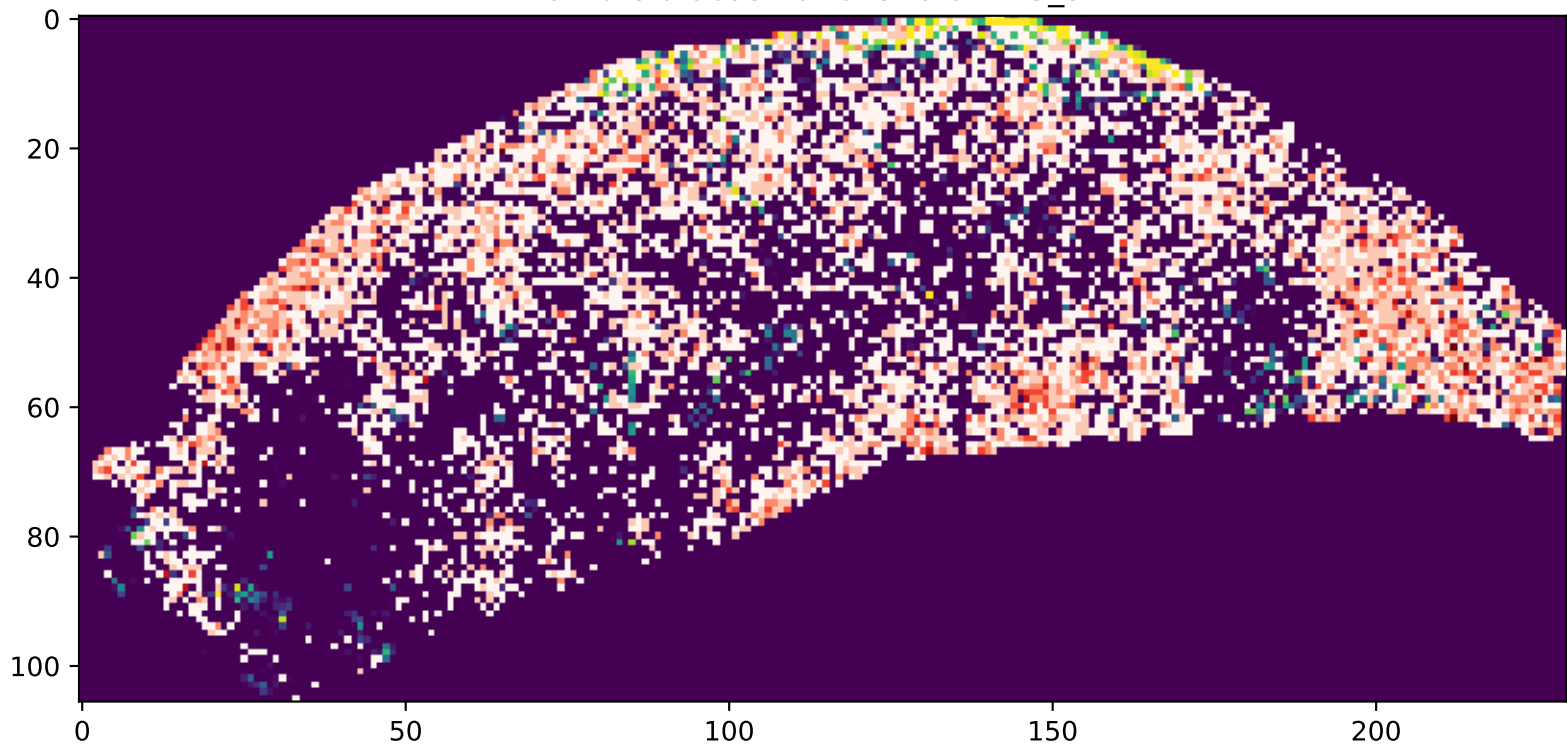
Nombre de Cellules T : 19_654 (30.73%)

Nombre d'observations total : 63_961



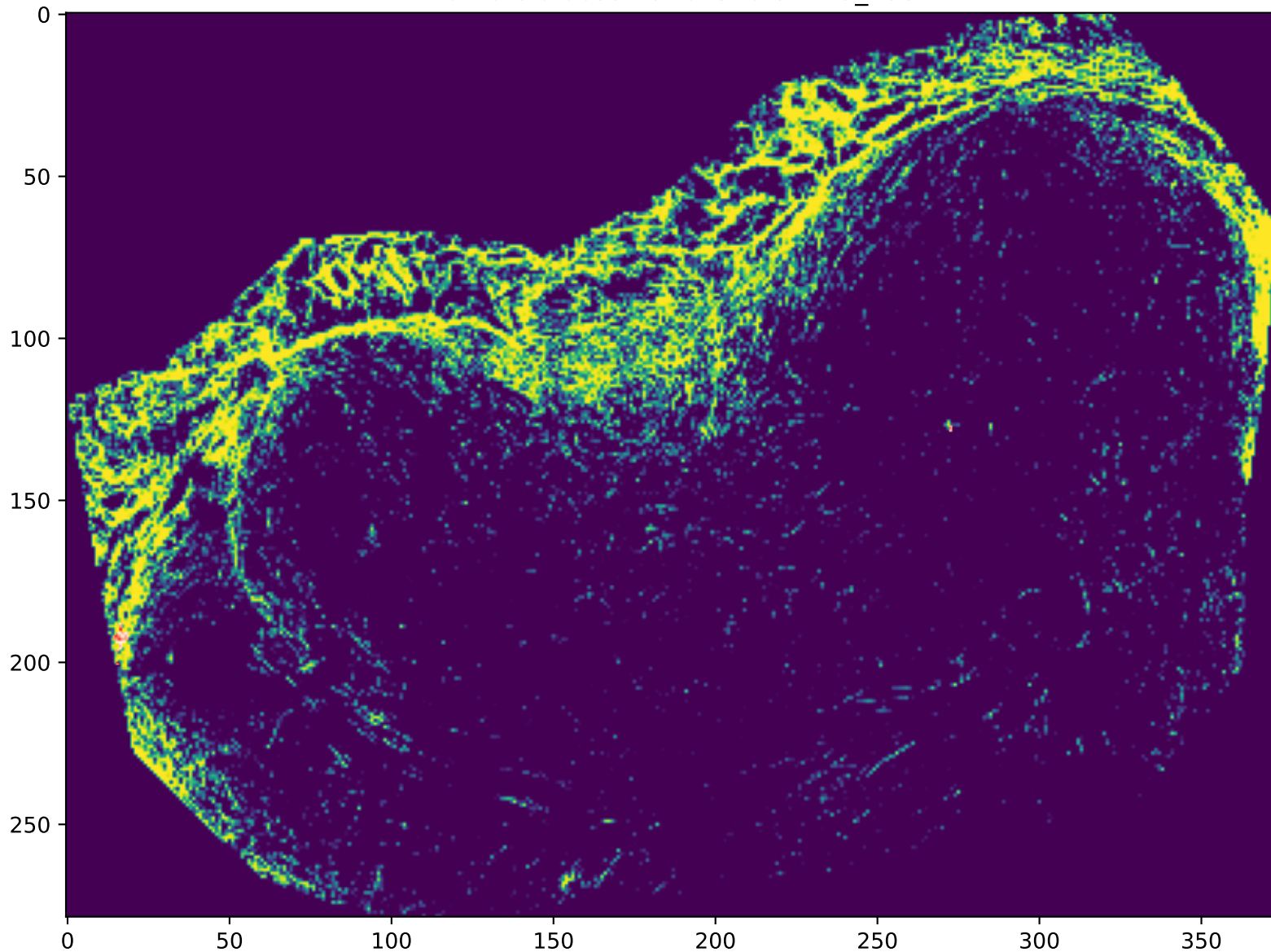
FKI_140_left_bottom_CD3FITC
KI

Nombre de Cellules T : 9_758 (72.21%)
Nombre d'observations total : 13_514



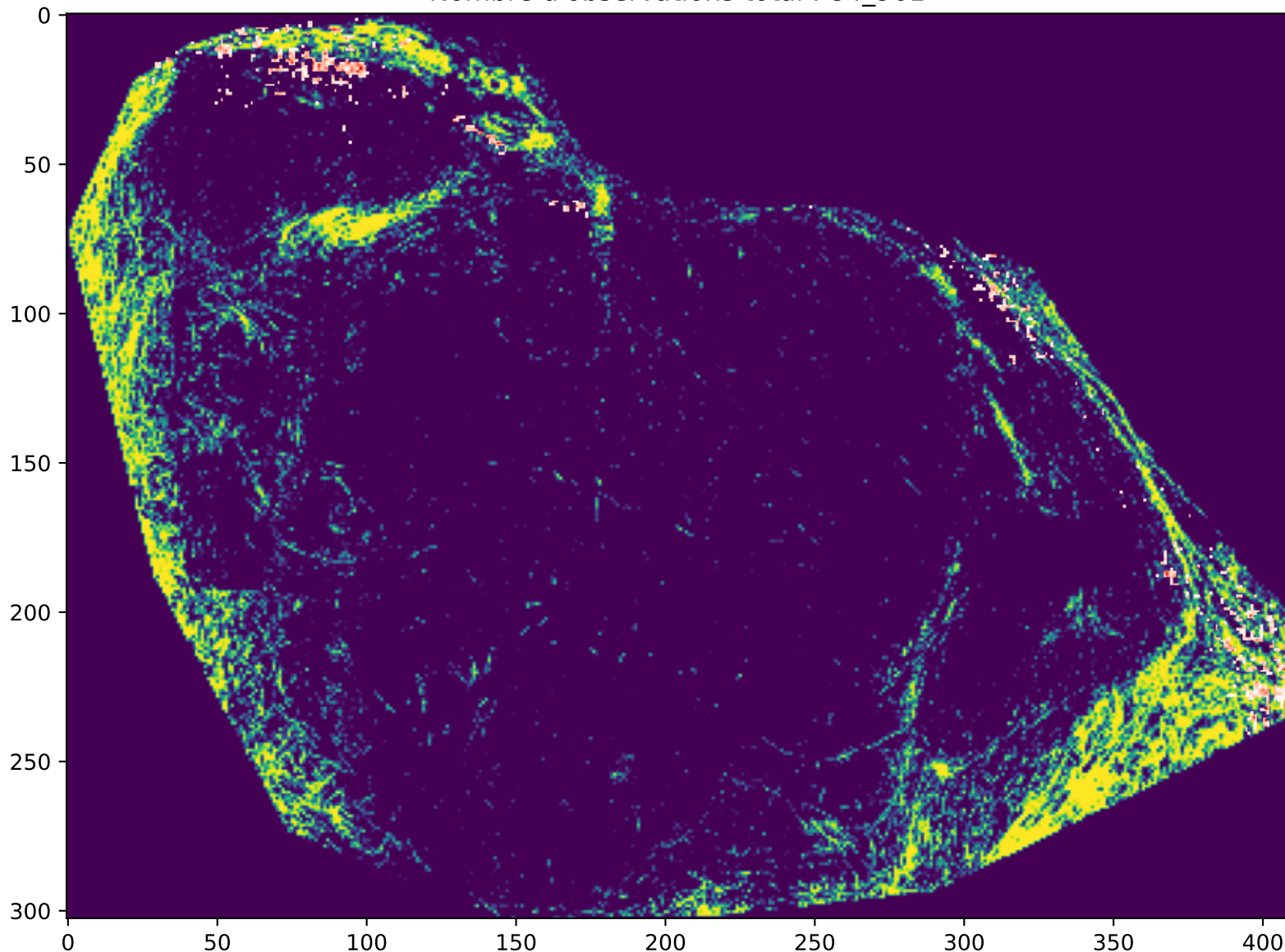
12c_ZF_MAX_12c_MKI857_CD3FITC_SHG
KI

Nombre de Cellules T : 277 (0.37%)
Nombre d'observations total : 75_733



12c_ZF_MAX_12c_MKI856_CD3FITC_SHG
KI

Nombre de Cellules T : 6_008 (7.07%)
Nombre d'observations total : 84_961



MKI855_CD3_SHG_HyD3_laser_10 - Copie

KI

Nombre de Cellules T : 15_591 (18.52%)

Nombre d'observations total : 84_204

